

# Introducción a la física de partículas

Mauricio Bustamante

Grupo de Altas Energías, PUCP

I Escuela de Verano de Física  
Universidad Nacional del Callao

27 y 28 de Enero del 2011

# Contenido

- 1 Introducción: ¿qué es la física de partículas?
- 2 Cinemática relativista
- 3 Decaimientos y dispersiones
- 4 Una teoría juguete
- 5 Electrodinámica cuántica (QED)
- 6 Teorías gauge

# Contenido

- 1 Introducción: ¿qué es la física de partículas?
- 2 Cinemática relativista
- 3 Decaimientos y dispersiones
- 4 Una teoría juguete
- 5 Electrodinámica cuántica (QED)
- 6 Teorías gauge

## ¿Qué es la física de partículas?

Es el estudio de los constituyentes fundamentales de la materia.

La pregunta “¿de qué está hecha la materia?” ha recibido variadas respuestas a lo largo de la historia:

- ▶ agua
- ▶ sólidos geométricos
- ▶ átomos
- ▶ electrones y núcleos atómicos
- ▶ electrones, protones y neutrones

Hoy creemos que, fundamentalmente, la materia está hecha de unas pocas clases de objetos (partículas) distintas.

Veamos ... ►

## ¿Qué es la física de partículas?

**Es el estudio de los constituyentes fundamentales de la materia.**

La pregunta “¿de qué está hecha la materia?” ha recibido variadas respuestas a lo largo de la historia:

- ▶ agua
- ▶ sólidos geométricos
- ▶ átomos
- ▶ electrones y núcleos atómicos
- ▶ electrones, protones y neutrones

Hoy creemos que, fundamentalmente, la materia está hecha de unas pocas clases de objetos (partículas) distintas.

Veamos ... ►

## ¿Qué es la física de partículas?

Es el estudio de los constituyentes fundamentales de la materia.

La pregunta “*¿de qué está hecha la materia?*” ha recibido variadas respuestas a lo largo de la historia:

- ▶ agua
- ▶ sólidos geométricos
- ▶ átomos
- ▶ electrones y núcleos atómicos
- ▶ electrones, protones y neutrones

Hoy creemos que, fundamentalmente, la materia está hecha de unas pocas clases de objetos (partículas) distintas.

Veamos ... ►

## ¿Qué es la física de partículas?

Es el estudio de los constituyentes fundamentales de la materia.

La pregunta “*¿de qué está hecha la materia?*” ha recibido variadas respuestas a lo largo de la historia:

- ▶ agua
- ▶ sólidos geométricos
- ▶ átomos
- ▶ electrones y núcleos atómicos
- ▶ electrones, protones y neutrones

Hoy creemos que, fundamentalmente, la materia está hecha de unas pocas clases de objetos (partículas) distintas.

Veamos ... ►

## ¿Qué es la física de partículas?

Es el estudio de los constituyentes fundamentales de la materia.

La pregunta “*¿de qué está hecha la materia?*” ha recibido variadas respuestas a lo largo de la historia:

- ▶ agua
- ▶ sólidos geométricos
- ▶ átomos
- ▶ electrones y núcleos atómicos
- ▶ electrones, protones y neutrones

Hoy creemos que, fundamentalmente, la materia está hecha de unas pocas clases de objetos (partículas) distintas.

Veamos ... ►

## ¿Qué es la física de partículas?

Es el estudio de los constituyentes fundamentales de la materia.

La pregunta “*¿de qué está hecha la materia?*” ha recibido variadas respuestas a lo largo de la historia:

- ▶ agua
- ▶ sólidos geométricos
- ▶ átomos
- ▶ electrones y núcleos atómicos
- ▶ electrones, protones y neutrones

Hoy creemos que, fundamentalmente, la materia está hecha de unas pocas clases de objetos (partículas) distintas.

Veamos ... ►

## ¿Qué es la física de partículas?

Es el estudio de los constituyentes fundamentales de la materia.

La pregunta “*¿de qué está hecha la materia?*” ha recibido variadas respuestas a lo largo de la historia:

- ▶ agua
- ▶ sólidos geométricos
- ▶ átomos
- ▶ electrones y núcleos atómicos
- ▶ electrones, protones y neutrones

Hoy creemos que, fundamentalmente, la materia está hecha de unas pocas clases de objetos (partículas) distintas.

Veamos ... ►

## ¿Qué es la física de partículas?

Es el estudio de los constituyentes fundamentales de la materia.

La pregunta “*¿de qué está hecha la materia?*” ha recibido variadas respuestas a lo largo de la historia:

- ▶ agua
- ▶ sólidos geométricos
- ▶ átomos
- ▶ electrones y núcleos atómicos
- ▶ electrones, protones y neutrones

Hoy creemos que, fundamentalmente, la materia está hecha de unas pocas clases de objetos (partículas) distintas.

Veamos ... ►

## ¿Qué es la física de partículas?

Es el estudio de los constituyentes fundamentales de la materia.

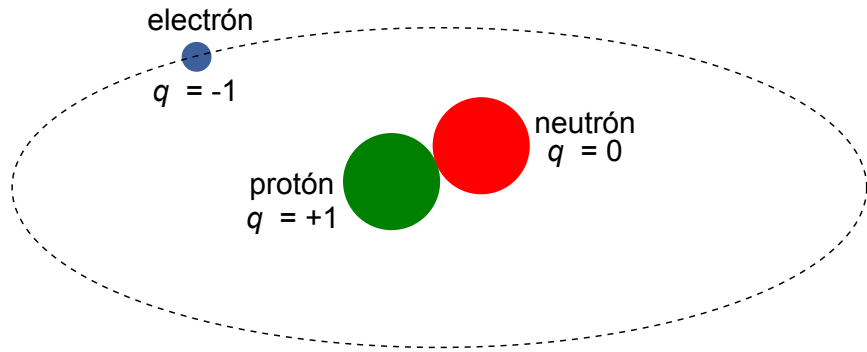
La pregunta “*¿de qué está hecha la materia?*” ha recibido variadas respuestas a lo largo de la historia:

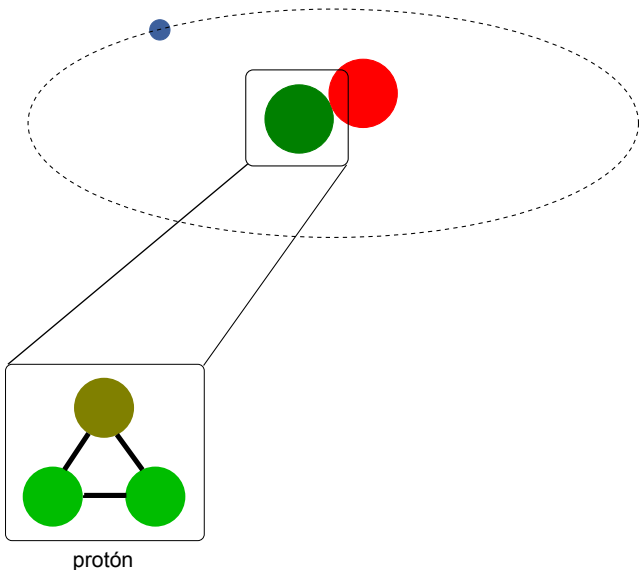
- ▶ agua
- ▶ sólidos geométricos
- ▶ átomos
- ▶ electrones y núcleos atómicos
- ▶ electrones, protones y neutrones

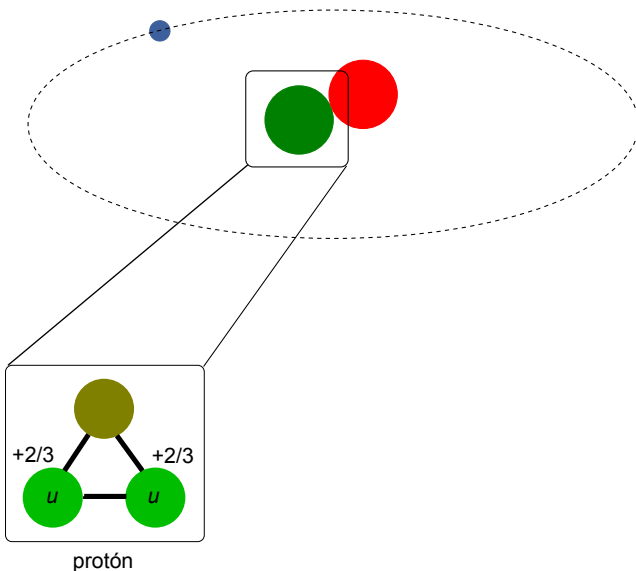
Hoy creemos que, fundamentalmente, la materia está hecha de unas pocas clases de objetos (partículas) distintas.

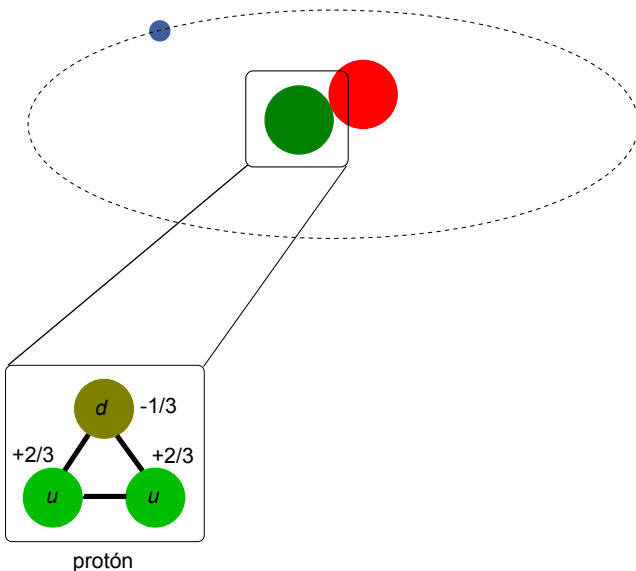
Veamos ... ►

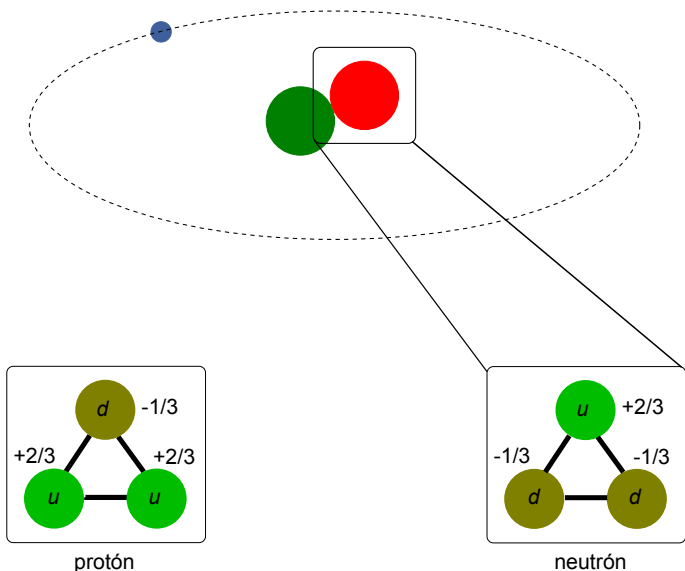
# Un átomo de ${}^2_1\text{H}$ :

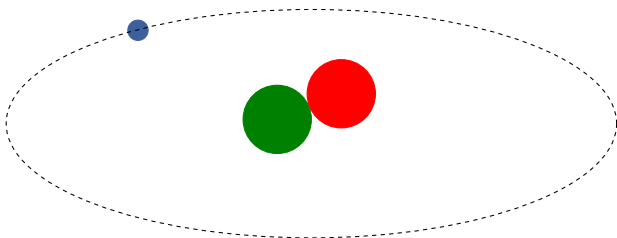






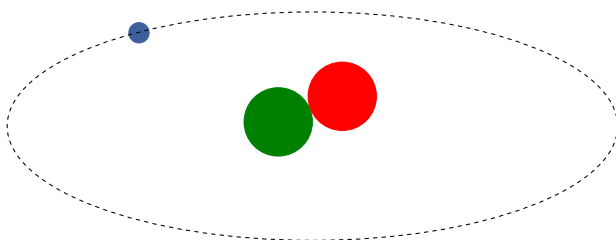






Seis quarks, agrupados en tres familias:

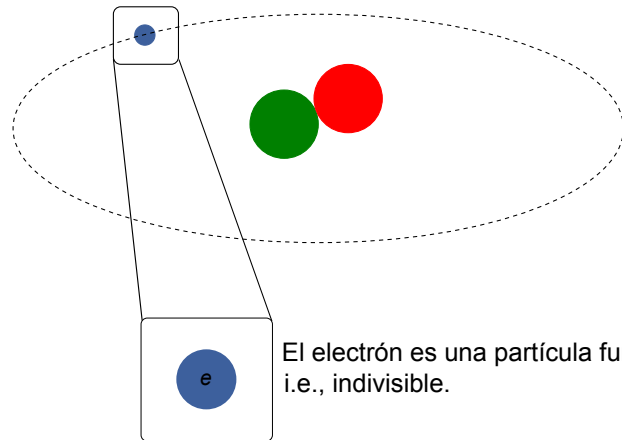
-1/3	 down	 strange	 bottom
+2/3	 up	 charm	 top



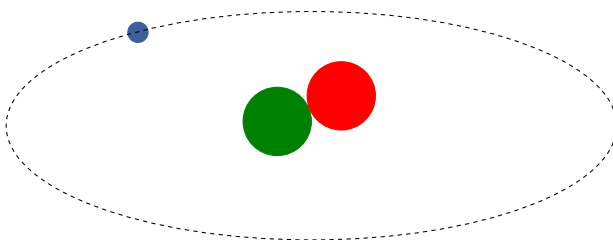
Seis quarks, agrupados en tres familias:

-1/3	 down	 strange	 bottom
+2/3	 up	 charm	 top

—>  
masa



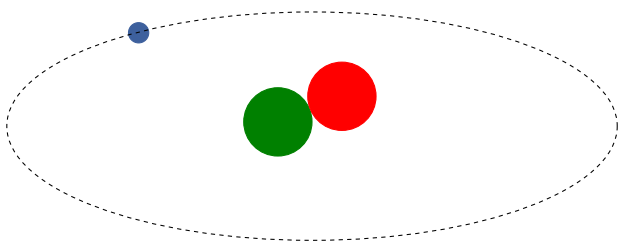
El electrón es una partícula fundamental,  
i.e., indivisible.



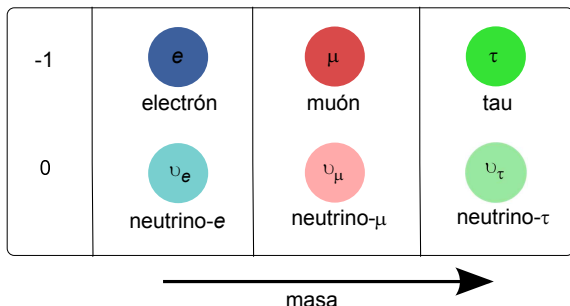
$q = -1$   
  
electrón

$q = 0$   
  
neutrino-e

El electrón y el neutrino son *leptones*.



Los leptones están agrupados también en tres familias:



Hoy creemos que los constituyentes fundamentales son de tres tipos:

- ▶ quarks: forman protones ( $uud$ ), neutrones ( $ddu$ ), etc.
- ▶ leptones: notablemente, el electrón
- ▶ bosones: “transmisores de fuerza”

Cuatro tipos de interacción conocidos:

interacción	intensidad	bosón asociado
fuerte	$10$	gluones ( $g_1, \dots, g_8$ )
electromagnética	$10^{-2}$	fotón ( $\gamma$ )
débil	$10^{-13}$	bosones débiles ( $W^+, W^-, Z^0$ )
gravitacional	$10^{-42}$	¿gravitón?

Excepto a energías muy altas ( $\gtrsim 10^9$  J), la interacción gravitacional es despreciable.

Hoy creemos que los constituyentes fundamentales son de tres tipos:

- **quarks:** forman protones ( $uud$ ), neutrones ( $ddu$ ), etc.
- **leptones:** notablemente, el electrón
- **bosones:** “transmisores de fuerza”

Cuatro tipos de interacción conocidos:

interacción	intensidad	bosón asociado
fuerte	$10$	gluones ( $g_1, \dots, g_8$ )
electromagnética	$10^{-2}$	fotón ( $\gamma$ )
débil	$10^{-13}$	bosones débiles ( $W^+, W^-, Z^0$ )
gravitacional	$10^{-42}$	¿gravitón?

Excepto a energías muy altas ( $\gtrsim 10^9$  J), la interacción gravitacional es despreciable.

Hoy creemos que los constituyentes fundamentales son de tres tipos:

- ▶ **quarks:** forman protones ( $uud$ ), neutrones ( $ddu$ ), etc.
- ▶ **leptones:** notablemente, el electrón
- ▶ bosones: “transmisores de fuerza”

Cuatro tipos de interacción conocidos:

interacción	intensidad	bosón asociado
fuerte	$10$	gluones ( $g_1, \dots, g_8$ )
electromagnética	$10^{-2}$	fotón ( $\gamma$ )
débil	$10^{-13}$	bosones débiles ( $W^+, W^-, Z^0$ )
gravitacional	$10^{-42}$	¿gravitón?

Excepto a energías muy altas ( $\gtrsim 10^9$  J), la interacción gravitacional es despreciable.

Hoy creemos que los constituyentes fundamentales son de tres tipos:

- ▶ **quarks**: forman protones ( $uud$ ), neutrones ( $ddu$ ), etc.
- ▶ **leptones**: notablemente, el electrón
- ▶ **bosones**: “transmisores de fuerza”

Cuatro tipos de interacción conocidos:

interacción	intensidad	bosón asociado
fuerte	$10$	gluones ( $g_1, \dots, g_8$ )
electromagnética	$10^{-2}$	fotón ( $\gamma$ )
débil	$10^{-13}$	bosones débiles ( $W^+, W^-, Z^0$ )
gravitacional	$10^{-42}$	¿gravitón?

Excepto a energías muy altas ( $\gtrsim 10^9$  J), la interacción gravitacional es despreciable.

Hoy creemos que los constituyentes fundamentales son de tres tipos:

- ▶ **quarks**: forman protones ( $uud$ ), neutrones ( $ddu$ ), etc.
- ▶ **leptones**: notablemente, el electrón
- ▶ **bosones**: “transmisores de fuerza”

Cuatro tipos de interacción conocidos:

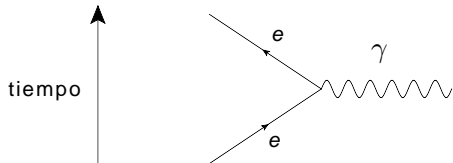
interacción	intensidad	bosón asociado
fuerte	10	gluones ( $g_1, \dots, g_8$ )
electromagnética	$10^{-2}$	fotón ( $\gamma$ )
débil	$10^{-13}$	bosones débiles ( $W^+, W^-, Z^0$ )
gravitacional	$10^{-42}$	¿gravitón?

Excepto a energías muy altas ( $\gtrsim 10^9$  J), la interacción gravitacional es despreciable.

Cada fuerza es mediada por el intercambio de un bosón.

Representación gráfica: **diagramas de Feynman**

e.g., para la interacción de un electrón con un fotón, dibujamos

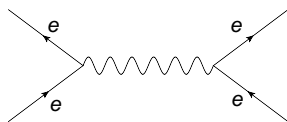


Este es el vértice primitivo para todas las interacciones electromagnéticas, i.e., que involucran fotones.

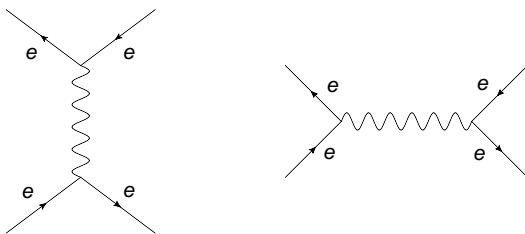
**Electrodinámica cuántica (QED):** teoría que describe las interacciones e.m. a partir del intercambio de fotones entre partículas cargadas.

Usando el vértice primitivo, construimos procesos e.m. más complejos:

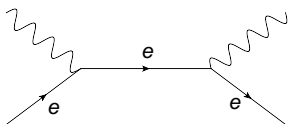
- dispersión de Møller ( $e^- + e^- \rightarrow e^- + e^-$ )



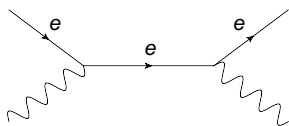
- dispersión de Bhabha ( $e^- + e^+ \rightarrow e^- + e^+$ )



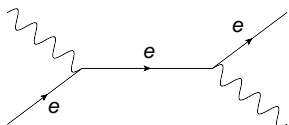
- aniquilación de pares ( $e^- + e^+ \rightarrow \gamma + \gamma$ )



- producción de pares ( $\gamma + \gamma \rightarrow e^- + e^+$ )

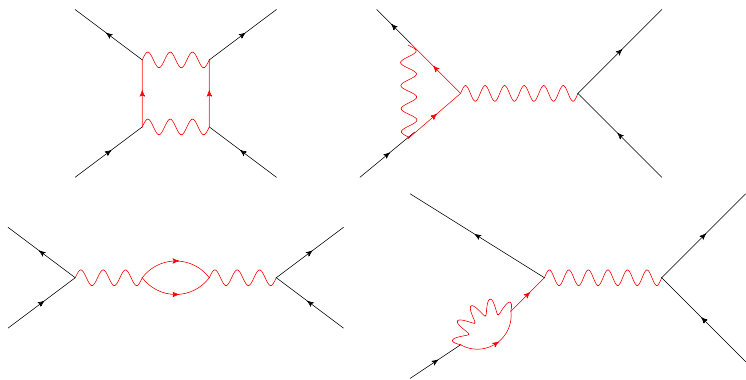


- dispersión de Compton ( $e^- + \gamma \rightarrow e^- + \gamma$ )



El número de vértices no está restringido a dos.

e.g., dispersión de Møller ( $e^- + e^- \rightarrow e^- + e^-$ ) con cuatro vértices:



- ▶ Líneas internas partículas no observadas – **partículas virtuales**
- ▶ Líneas externas: partículas observables

Las líneas externas especifican qué proceso está ocurriendo; las internas describen el mecanismo responsable.

## Los diagramas de Feynman son puramente simbólicos – no representan trayectorias de partículas.

Cada diagrama representa un número, que se calcula usando las “reglas de Feynman”.

Para un proceso dado (e.g.,  $e^- + e^- \rightarrow e^- + e^-$ ):

- ▶ se dibujan todos los diagramas de Feynman, hasta cierto orden
- ▶ se evalúa cada uno usando las reglas de Feynman
- ▶ la suma total representa el proceso físico

Problema: ¿hasta qué orden de diagramas contar?

- ▶ en QED, cada vértice introduce un factor  $\sqrt{\alpha} \approx \sqrt{1/137}$
- ▶ ∴ diagramas con más vértices contribuyen menos

Los diagramas de Feynman son puramente simbólicos  
– no representan trayectorias de partículas.

Cada diagrama representa un número, que se calcula usando las “reglas de Feynman”.

Para un proceso dado (e.g.,  $e^- + e^- \rightarrow e^- + e^-$ ):

- ▶ se dibujan todos los diagramas de Feynman, hasta cierto orden
- ▶ se evalúa cada uno usando las reglas de Feynman
- ▶ la suma total representa el proceso físico

Problema: ¿hasta qué orden de diagramas contar?

- ▶ en QED, cada vértice introduce un factor  $\sqrt{\alpha} \approx \sqrt{1/137}$
- ▶ ∴ diagramas con más vértices contribuyen menos

Los diagramas de Feynman son puramente simbólicos  
– no representan trayectorias de partículas.

Cada diagrama representa un número, que se calcula usando las “reglas de Feynman”.

Para un proceso dado (e.g.,  $e^- + e^- \rightarrow e^- + e^-$ ):

- ▶ se dibujan todos los diagramas de Feynman, hasta cierto orden
- ▶ se evalúa cada uno usando las reglas de Feynman
- ▶ la suma total representa el proceso físico

Problema: ¿hasta qué orden de diagramas contar?

- ▶ en QED, cada vértice introduce un factor  $\sqrt{\alpha} \approx \sqrt{1/137}$
- ▶ ∴ diagramas con más vértices contribuyen menos

Los diagramas de Feynman son puramente simbólicos  
– no representan trayectorias de partículas.

Cada diagrama representa un número, que se calcula usando las “reglas de Feynman”.

Para un proceso dado (e.g.,  $e^- + e^- \rightarrow e^- + e^-$ ):

- ▶ se dibujan todos los diagramas de Feynman, hasta cierto orden
- ▶ se evalúa cada uno usando las reglas de Feynman
- ▶ la suma total representa el proceso físico

Problema: ¿hasta qué orden de diagramas contar?

- ▶ en QED, cada vértice introduce un factor  $\sqrt{\alpha} \approx \sqrt{1/137}$
- ▶ ∴ diagramas con más vértices contribuyen menos

Los diagramas de Feynman son puramente simbólicos  
– no representan trayectorias de partículas.

Cada diagrama representa un número, que se calcula usando las “reglas de Feynman”.

Para un proceso dado (e.g.,  $e^- + e^- \rightarrow e^- + e^-$ ):

- ▶ se dibujan todos los diagramas de Feynman, hasta cierto orden
- ▶ se evalúa cada uno usando las reglas de Feynman
- ▶ la suma total representa el proceso físico

Problema: ¿hasta qué orden de diagramas contar?

- ▶ en QED, cada vértice introduce un factor  $\sqrt{\alpha} \approx \sqrt{1/137}$
- ▶ ∴ diagramas con más vértices contribuyen menos

Los diagramas de Feynman son puramente simbólicos  
– no representan trayectorias de partículas.

Cada diagrama representa un número, que se calcula usando las “reglas de Feynman”.

Para un proceso dado (e.g.,  $e^- + e^- \rightarrow e^- + e^-$ ):

- ▶ se dibujan todos los diagramas de Feynman, hasta cierto orden
- ▶ se evalúa cada uno usando las reglas de Feynman
- ▶ la suma total representa el proceso físico

Problema: ¿hasta qué orden de diagramas contar?

- ▶ en QED, cada vértice introduce un factor  $\sqrt{\alpha} \approx \sqrt{1/137}$
- ▶ ∴ diagramas con más vértices contribuyen menos

Los diagramas de Feynman son puramente simbólicos  
– no representan trayectorias de partículas.

Cada diagrama representa un número, que se calcula usando las “reglas de Feynman”.

Para un proceso dado (e.g.,  $e^- + e^- \rightarrow e^- + e^-$ ):

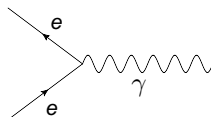
- ▶ se dibujan todos los diagramas de Feynman, hasta cierto orden
- ▶ se evalúa cada uno usando las reglas de Feynman
- ▶ la suma total representa el proceso físico

Problema: ¿hasta qué orden de diagramas contar?

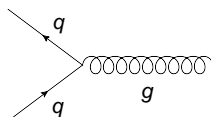
- ▶ en QED, cada vértice introduce un factor  $\sqrt{\alpha} \approx \sqrt{1/137}$
- ▶ ∴ diagramas con más vértices contribuyen menos

# Vértices fundamentales para todas las fuerzas (excepto gravitación):

- electromagnética (electrodinámica cuántica):



- fuerte (cromodinámica cuántica):



- débil (teoría Glashow-Salam-Weinberg):



# Contenido

- 1 Introducción: ¿qué es la física de partículas?
- 2 Cinemática relativista
- 3 Decaimientos y dispersiones
- 4 Una teoría juguete
- 5 Electrodinámica cuántica (QED)
- 6 Teorías gauge

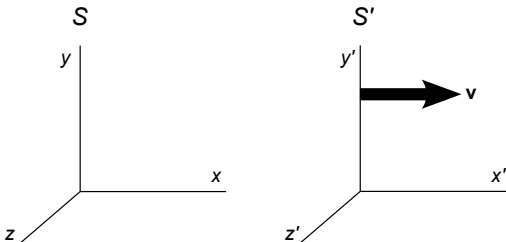
## Relatividad especial:

las leyes de la física son igualmente válidas en todos los sistemas de referencia inerciales

**Sistema inercial:** uno donde la primera de ley de Newton se cumple

Cualesquiera dos sistemas inerciales se mueven a velocidad constante uno respecto al otro:

Transformaciones de Lorentz de S a S':



$$x' = \gamma(x - vt)$$

$$y' = y$$

$$z' = z$$

$$t' = \gamma \left( t - \frac{v}{c^2} x \right)$$

$$\gamma \equiv (1 - \beta)^{-1/2}, \beta \equiv v/c$$

## Algunas consecuencias:

- **No simultaneidad:** dos eventos que ocurren al mismo tiempo en  $S$  (i.e.,  $t_A = t_B$ ), pero en diferentes ubicaciones, no ocurren al mismo tiempo en  $S'$ :

$$t'_A = t'_B + \frac{\gamma v}{c^2} (x_B - x_A) .$$

- **Contracción de longitud:** un objeto que en  $S'$  tiene longitud  $L'$  en la dirección de  $x \parallel x'$  es medido en  $S$  con longitud

$$L = L'/\gamma < L' .$$

- **Dilatación del tiempo:** el intervalo de tiempo  $\Delta t'$  en  $S'$  es medido en  $S$  como

$$\Delta t = \gamma \left( \Delta t' + \frac{v}{c^2} \Delta x' \right) > \Delta t' .$$

- **Adición de velocidades:** si un objeto se mueve con velocidad  $u'$  con respecto a  $S'$ , entonces, con respecto a  $S$ , se mueve a velocidad

$$u = \frac{u' + v}{1 + u'v/c^2} .$$

# Cuadrivectores

Definimos

$$x^0 = ct \quad , \quad x^1 = x \quad , \quad x^2 = y \quad , \quad x^3 = z \quad ,$$

con lo que las transformaciones de Lorentz quedan

$$x^{0'} = \gamma (x^0 - \beta x^1)$$

$$x^{1'} = \gamma (x^1 - \beta x^0)$$

$$x^{2'} = x^2$$

$$x^{3'} = x^3$$

suma sobre índices repetidos

Más compactamente,

$$x^{\mu'} = \sum_{\nu=0}^3 \Lambda_{\nu}^{\mu} x^{\nu} = \boxed{\Lambda_{\nu}^{\mu} x^{\nu}} \quad (\mu = 0, 1, 2, 3) \quad ,$$

con  $\Lambda_{\nu}^{\mu}$  elementos de la matriz de Lorentz

$$\Lambda = \begin{pmatrix} \gamma & -\gamma\beta & 0 & 0 \\ -\gamma\beta & \gamma & 0 & 0 \\ 0 & 0 & 1 & 0 \\ 0 & 0 & 0 & 1 \end{pmatrix} .$$

Las componentes  $x^\mu$  cambian bajo Lorentz, pero la combinación

$$I \equiv (x^0)^2 - (x^1)^2 - (x^2)^2 - (x^3)^2 = (x^{0'})^2 - (x^{1'})^2 - (x^{2'})^2 - (x^{3'})^2$$

permanece igual:

*I es un invariante de Lorentz*

Si introducimos la métrica

$$g = \begin{pmatrix} 1 & 0 & 0 & 0 \\ 0 & -1 & 0 & 0 \\ 0 & 0 & -1 & 0 \\ 0 & 0 & 0 & -1 \end{pmatrix},$$

podemos escribir el invariante como

$$I = \sum_{\mu=0}^3 \sum_{\nu=0}^3 g_{\mu\nu} x^\mu x^\nu = g_{00} (x^0)^2 + g_{11} (x^1)^2 + g_{22} (x^2)^2 + g_{33} (x^3)^2 = g_{\mu\nu} x^\mu x^\nu.$$

Cuadrivector *contravariante*:  $x^\mu$

Cuadrivector *covariante*:  $x_\mu \equiv g_{\mu\nu} x^\nu$

$$\Rightarrow I = x_\mu x^\mu$$

Definimos un cuadrvector general

$$a^\mu = (a^0, a^1, a^2, a^3) = (a^0, \vec{a})$$

como el objeto que transforma de igual manera que  $x^\mu$ , i.e.,

$$a^{\mu'} = \Lambda_\nu^\mu a^\nu .$$

Se cumple:

$$a_\mu = g_{\mu\nu} a^\nu$$

$$a^\mu = g^{\mu\nu} a_\nu$$

El **producto escalar** de dos cuadrvectores:

$$a^\mu b_\mu = a_\mu b^\mu = a^0 b^0 - a^1 b^1 - a^2 b^2 - a^3 b^3 = a^0 b^0 - \vec{a} \cdot \vec{b}$$

es invariante de Lorentz.

# Energía y momentum

Sean:

- tiempo medido en el laboratorio:  $t$
- tiempo propio de la partícula:  $\tau$

$$d\tau = \frac{dt}{\gamma}$$

$d\vec{x}$ : distancia, medida en el laboratorio, recorrida por la partícula

Velocidad ...

- ... medida en el laboratorio:  $\vec{v} = d\vec{x}/dt$
- ... "propia":  $\vec{\eta} = d\vec{x}/d\tau$

$$\Rightarrow \vec{\eta} = \gamma \vec{v}$$

Cuadrivelocidad propia:  $\eta^\mu = \frac{dx^\mu}{d\tau}$

$$\eta^0 = \frac{dx^0}{d\tau} = \frac{d(ct)}{(1/\gamma) dt} = \gamma c \Rightarrow \eta^\mu = \gamma(c, \vec{v})$$

Para un partícula de masa  $m$ , el cuadrimomentum se define como

$$p^\mu = m\eta^\mu ,$$

de forma que

$$\vec{p} = \gamma m \vec{v} \quad \text{y} \quad p^0 = \gamma mc .$$

Si definimos la “energía relativista” como

$$E = \gamma mc^2 ,$$

entonces, el **cuadrivector de energía-momentum** queda

$$p^\mu = \left( \frac{E}{c}, \vec{p} \right) .$$

relación de energía-momentum:  $p_\mu p^\mu = \frac{E^2}{c^2} - |\vec{p}|^2 = m^2 c^2$

$$E = \gamma mc^2 = \frac{mc^2}{\sqrt{1 - v^2/c^2}} = mc^2 + \frac{1}{2}mv^2 + \frac{3}{8}m\frac{v^4}{c^2} + \dots$$

Energía en reposo:

$$E(v=0) = mc^2$$

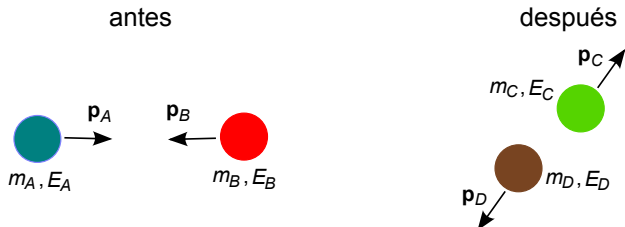
Energía cinética relativista:

$$T \equiv mc^2(\gamma - 1) = \frac{1}{2}mv^2 + \frac{3}{8}m\frac{v^4}{c^2} + \dots$$

En el límite no relativista ( $v \ll c$ ),

$$T \rightarrow \frac{1}{2}mv^2 \text{ (energía cinética clásica)}$$

# Colisiones (e.g., $A + B \rightarrow C + D$ )



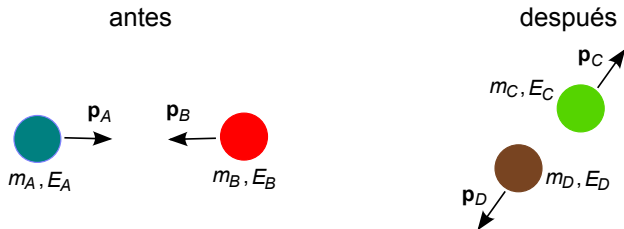
## Colisiones clásicas:

- se conserva la **masa**:  $m_A + m_B = m_C + m_D$
- se conserva el momentum:  $\vec{p}_A + \vec{p}_B = \vec{p}_C + \vec{p}_D$
- la energía cinética puede o no conservarse

## Colisiones relativistas:

- se conserva la **energía**:  $E_A + E_B = E_C + E_D$
- se conserva el momentum:  $\vec{p}_A + \vec{p}_B = \vec{p}_C + \vec{p}_D$
- la energía cinética puede o no conservarse

# Colisiones (e.g., $A + B \rightarrow C + D$ )



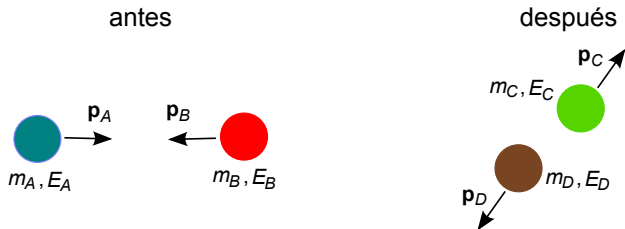
## Colisiones clásicas:

- se conserva la **masa**:  $m_A + m_B = m_C + m_D$
- se conserva el momentum:  $\vec{p}_A + \vec{p}_B = \vec{p}_C + \vec{p}_D$
- la energía cinética puede o no conservarse

## Colisiones relativistas:

- se conserva la **energía**:  $E_A + E_B = E_C + E_D$
- se conserva el momentum:  $\vec{p}_A + \vec{p}_B = \vec{p}_C + \vec{p}_D$
- la energía cinética puede o no conservarse

# Colisiones (e.g., $A + B \rightarrow C + D$ )



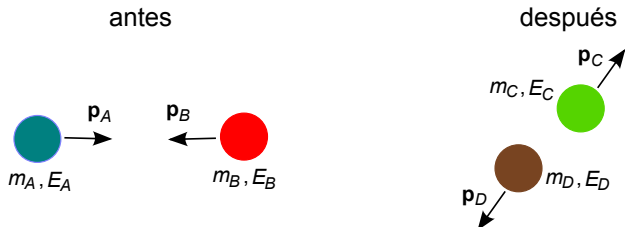
## Colisiones clásicas:

- se conserva la **masa**:  $m_A + m_B = m_C + m_D$
- se conserva el momentum:  $\vec{p}_A + \vec{p}_B = \vec{p}_C + \vec{p}_D$
- la energía cinética puede o no conservarse

## Colisiones relativistas:

- se conserva la **energía**:  $E_A + E_B = E_C + E_D$
- se conserva el momentum:  $\vec{p}_A + \vec{p}_B = \vec{p}_C + \vec{p}_D$
- la energía cinética puede o no conservarse

# Colisiones (e.g., $A + B \rightarrow C + D$ )



## Colisiones clásicas:

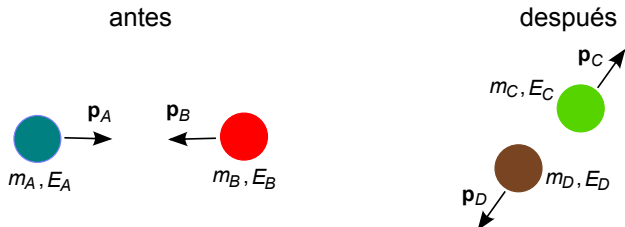
- se conserva la **masa**:  $m_A + m_B = m_C + m_D$
- se conserva el momentum:  $\vec{p}_A + \vec{p}_B = \vec{p}_C + \vec{p}_D$
- la energía cinética puede o no conservarse

## Colisiones relativistas:

- se conserva la **energía**:  $E_A + E_B = E_C + E_D$
- se conserva el momentum:  $\vec{p}_A + \vec{p}_B = \vec{p}_C + \vec{p}_D$
- la energía cinética puede o no conservarse

$$\left. \begin{array}{l} p_A + p_B = p_C + p_D \end{array} \right\}$$

# Colisiones (e.g., $A + B \rightarrow C + D$ )



## Colisiones clásicas:

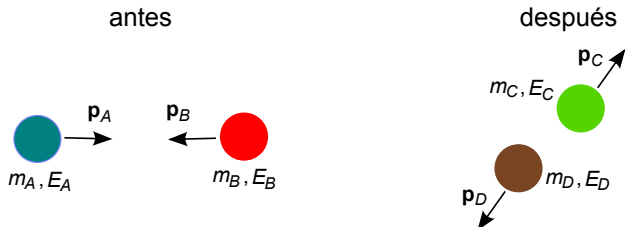
- se conserva la **masa**:  $m_A + m_B = m_C + m_D$
- se conserva el momentum:  $\vec{p}_A + \vec{p}_B = \vec{p}_C + \vec{p}_D$
- la energía cinética puede o no conservarse

## Colisiones relativistas:

- se conserva la **energía**:  $E_A + E_B = E_C + E_D$
- se conserva el momentum:  $\vec{p}_A + \vec{p}_B = \vec{p}_C + \vec{p}_D$
- la energía cinética puede o no conservarse

$$\left. \begin{array}{l} p_A + p_B = p_C + p_D \end{array} \right\}$$

# Colisiones (e.g., $A + B \rightarrow C + D$ )



## Colisiones clásicas:

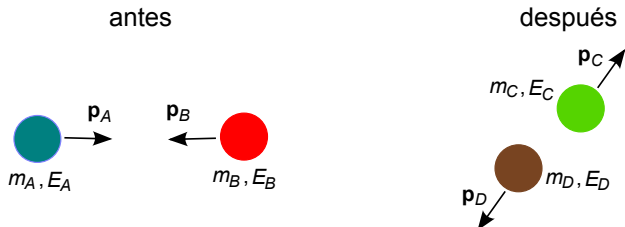
- se conserva la **masa**:  $m_A + m_B = m_C + m_D$
- se conserva el momentum:  $\vec{p}_A + \vec{p}_B = \vec{p}_C + \vec{p}_D$
- la energía cinética puede o no conservarse

## Colisiones relativistas:

- se conserva la **energía**:  $E_A + E_B = E_C + E_D$
- se conserva el momentum:  $\vec{p}_A + \vec{p}_B = \vec{p}_C + \vec{p}_D$
- la energía cinética puede o no conservarse

$$\left. \begin{array}{l} p_A + p_B = p_C + p_D \end{array} \right\}$$

# Colisiones (e.g., $A + B \rightarrow C + D$ )



## Colisiones clásicas:

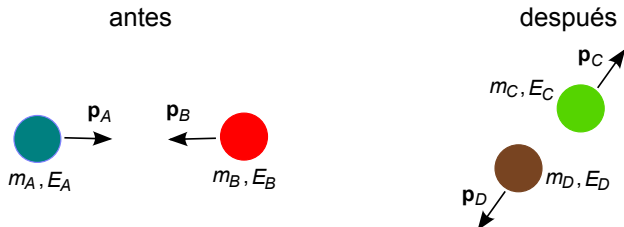
- se conserva la **masa**:  $m_A + m_B = m_C + m_D$
- se conserva el momentum:  $\vec{p}_A + \vec{p}_B = \vec{p}_C + \vec{p}_D$
- la energía cinética puede o no conservarse

## Colisiones relativistas:

- se conserva la **energía**:  $E_A + E_B = E_C + E_D$
- se conserva el momentum:  $\vec{p}_A + \vec{p}_B = \vec{p}_C + \vec{p}_D$
- la energía cinética puede o no conservarse

$$\left. \begin{array}{l} p_A + p_B = p_C + p_D \end{array} \right\}$$

# Colisiones (e.g., $A + B \rightarrow C + D$ )



## Colisiones clásicas:

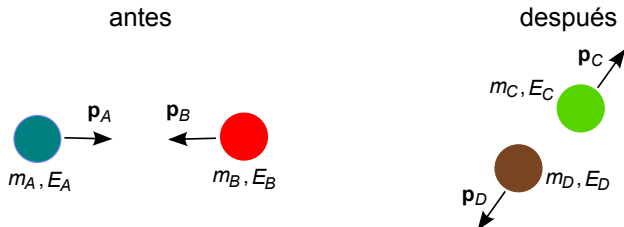
- se conserva la **masa**:  $m_A + m_B = m_C + m_D$
- se conserva el momentum:  $\vec{p}_A + \vec{p}_B = \vec{p}_C + \vec{p}_D$
- la energía cinética puede o no conservarse

## Colisiones relativistas:

- se conserva la **energía**:  $E_A + E_B = E_C + E_D$
- se conserva el momentum:  $\vec{p}_A + \vec{p}_B = \vec{p}_C + \vec{p}_D$
- la energía cinética puede o no conservarse

$$\left. \begin{array}{l} p_A + p_B = p_C + p_D \end{array} \right\}$$

# Colisiones (e.g., $A + B \rightarrow C + D$ )



## Colisiones clásicas:

- se conserva la **masa**:  $m_A + m_B = m_C + m_D$
- se conserva el momentum:  $\vec{p}_A + \vec{p}_B = \vec{p}_C + \vec{p}_D$
- la energía cinética puede o no conservarse

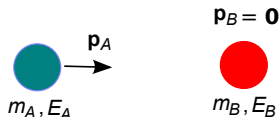
## Colisiones relativistas:

- se conserva la **energía**:  $E_A + E_B = E_C + E_D$
- se conserva el momentum:  $\vec{p}_A + \vec{p}_B = \vec{p}_C + \vec{p}_D$
- la energía cinética puede o no conservarse

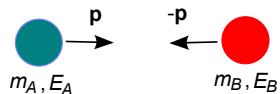
$$\left. \begin{array}{l} p_A + p_B = p_C + p_D \\ \end{array} \right\}$$

Al calcular, trabajamos principalmente en dos sistemas de referencia:

► sistema laboratorio



► sistema centro de momento (CM)



$$\vec{p}_A + \vec{p}_B = \vec{0} = \sum_{i=C,D,\dots} \vec{p}_i$$

Dependiendo de la situación particular, conviene usar uno, el otro, o ambos.

# Ejemplo: velocidad de productos de decaimiento

Una partícula de masa  $M$ , inicialmente en reposo, decae en dos pedazos, cada uno de masa  $m$ . ¿Cuál es la velocidad de cada pedazo producido?

Cuadrimomentos:

$$p_M = (E_M/c, \vec{0}) = (Mc, \vec{0}) \quad , \quad p_1 = (E_1/c, \vec{p}_1) \quad , \quad p_2 = (E_2/c, \vec{p}_2)$$

$$p_M = p_1 + p_2 \Rightarrow \begin{cases} E_M = E_1 + E_2 \\ \vec{0} = \vec{p}_1 + \vec{p}_2 \Rightarrow \vec{p}_1 = -\vec{p}_2 \equiv \vec{p} \end{cases}$$

Usando la relación de energía-momentum  $E^2 = |\vec{p}|^2 c^2 + m^2 c^4$ , obtenemos

$$E_1 = E_2 = \sqrt{|\vec{p}|^2 c^2 + m^2 c^4} .$$

De la conservación de energía,

$$E_M = E_1 + E_2 \Rightarrow M = \frac{2m}{1 - v^2/c^2} ,$$

donde hemos usado  $|\vec{p}| = \gamma mv$ . Con esto,

$$v = c \sqrt{1 - (2m/M)^2} .$$

# Ejemplo: decaimiento del píón

Un píón en reposo decae en un muón más un neutrino ( $\pi^- \rightarrow \mu^- + \bar{\nu}_\mu$ ). ¿Cuál es la velocidad del muón? Asumir que el neutrino no tiene masa.

$$p_\pi = (E_\pi/c, \vec{p}_\pi) = (m_\pi c, \vec{0}) \quad , \quad p_\mu = (E_\mu/c, \vec{p}_\mu) \quad , \quad p_\nu = (E_\nu/c, \vec{p}_\nu)$$

$$p_\pi = p_\mu + p_\nu \Rightarrow p_\nu = p_\pi - p_\mu \Rightarrow p_\nu^2 = (p_\pi - p_\mu)^2 = p_\pi^2 + p_\mu^2 - 2p_\pi \cdot p_\mu$$

Pero

$$p_\nu^2 = 0 \quad , \quad p_\pi^2 = m_\pi^2 c^2 \quad , \quad p_\mu^2 = m_\mu^2 c^2 \quad , \quad p_\pi \cdot p_\mu = \frac{E_\pi}{c} \frac{E_\mu}{c} = m_\pi E_\mu \quad ,$$

con lo cual

$$0 = m_\pi^2 c^2 + m_\mu^2 c^2 - 2m_\pi E_\mu \Rightarrow E_\mu = \frac{m_\pi^2 + m_\mu^2}{2m_\pi} c^2 .$$

Por otro lado,

$$p_\mu = p_\pi - p_\nu \Rightarrow p_\mu^2 = (p_\pi - p_\nu)^2 \Rightarrow m_\mu^2 c^2 = m_\pi^2 c^2 - 2m_\pi E_\nu .$$

Como  $E_\nu = |\vec{p}_\nu| c = |\vec{p}_\mu| c$ , entonces

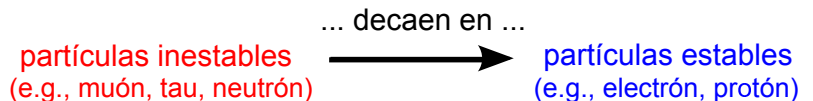
$$2m_\pi |\vec{p}_\mu| = (m_\pi^2 - m_\mu^2) c \Rightarrow |\vec{p}_\mu| = \frac{(m_\pi^2 - m_\mu^2)}{2m_\pi} c .$$

$$\left\{ \begin{array}{l} E_\mu = \gamma m_\mu c^2 \\ |\vec{p}_\mu| = \gamma m_\mu v_\mu \end{array} \right. \Rightarrow v_\mu = \frac{|\vec{p}_\mu|}{E_\mu} c^2 = \frac{m_\pi^2 - m_\mu^2}{m_\pi^2 + m_\mu^2} c \approx 0.271 c .$$

# Contenido

- 1 Introducción: ¿qué es la física de partículas?
- 2 Cinemática relativista
- 3 Decaimientos y dispersiones
- 4 Una teoría juguete
- 5 Electrodinámica cuántica (QED)
- 6 Teorías gauge

# Tiempo de vida



tiempo de vida:  
tiempo transcurrido entre la creación de la partícula y su decaimiento

- consideramos a la partícula **en reposo**
  - una partícula en movimiento dura más (desde nuestra perspectiva) debido a la dilatación del tiempo
- el decaimiento es **aleatorio**
  - no todos las partículas en reposo decaen en el mismo tiempo

tasa de decaimiento,  $\Gamma$ : probabilidad por unidad de tiempo de que una partícula decaiga

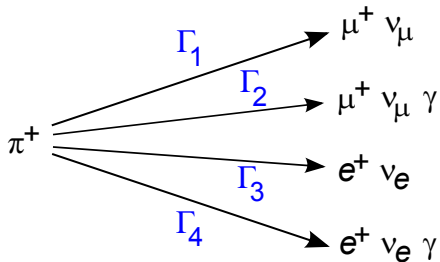
$N(t)$ : número de partículas al tiempo  $t$

En el intervalo  $dt$ , el número de partículas disminuye en  $dN = -\Gamma N dt$ .  
Resolviendo,

$$N(t) = N(0) e^{-\Gamma t} .$$

Tiempo de vida promedio:

$$\tau = \frac{1}{\Gamma}$$



Tasa de decaimiento total:

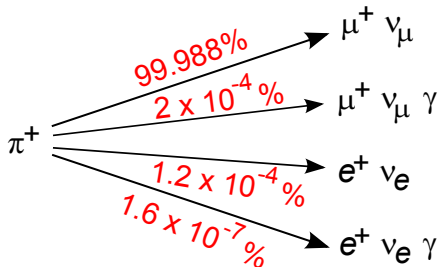
$$\Gamma_{\text{tot}} = \sum_{i=1}^n \Gamma_i$$

Tiempo de vida:

$$\tau = 1/\Gamma_{\text{tot}}$$

*Branching ratios:*

$$\text{BR}_i = \Gamma_i / \Gamma_{\text{tot}}$$



Tasa de decaimiento total:

$$\Gamma_{\text{tot}} = \sum_{i=1}^n \Gamma_i$$

Tiempo de vida:

$$\tau = 1/\Gamma_{\text{tot}}$$

*Branching ratios:*

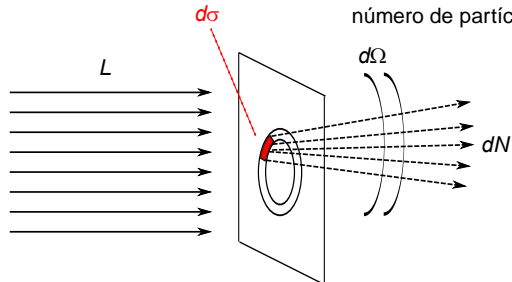
$$\text{BR}_i = \Gamma_i / \Gamma_{\text{tot}}$$

# Sección de choque

La sección de choque,  $\sigma$ , es una medida de la probabilidad de que dos partículas interactúen para producir una reacción particular.

Depende de:

- ▶ cuáles son las partículas iniciales (e.g., LEP vs. LHC)
- ▶ cuáles son sus energías (usualmente,  $\sigma$  crece con  $E$ )
- ▶ a través de qué fuerzas pueden interactuar
- ▶ qué partículas se generan en la reacción



número de partículas dispersadas ( $s^{-1}$ )

luminosidad ( $cm^{-2} s^{-1}$ )

$$dN = L \, d\sigma = L \frac{d\sigma}{d\Omega} d\Omega$$

$$\Rightarrow \frac{d\sigma}{d\Omega} = \frac{1}{L} \frac{dN}{d\Omega}$$

$$[\sigma] = cm^2$$

# Regla de oro de Fermi

En el cálculo de  $\Gamma$  ó  $\sigma$ , tenemos dos ingredientes:

- la amplitud del proceso,  $\mathcal{M}$ ; y
- el espacio de fase disponible

$\mathcal{M}$  contiene toda la información dinámica

- la calculamos evaluando los diagramas de Feynman relevantes usando las “reglas de Feynman”

El espacio de fase contiene sólo información cinemática

- depende de las masas, energías y momentos de las partículas

Regla de oro de Fermi:

$$\text{tasa de transición} = \frac{2\pi}{\hbar} |\mathcal{M}|^2 \times (\text{espacio de fase})$$

# Regla de oro de Fermi

En el cálculo de  $\Gamma$  ó  $\sigma$ , tenemos dos ingredientes:

- la amplitud del proceso,  $\mathcal{M}$ ; y
- el espacio de fase disponible

$\mathcal{M}$  contiene toda la información dinámica

- la calculamos evaluando los diagramas de Feynman relevantes usando las “reglas de Feynman”

El espacio de fase contiene sólo información cinemática

- depende de las masas, energías y momentos de las partículas

Regla de oro de Fermi:

$$\text{tasa de transición} = \frac{2\pi}{\hbar} |\mathcal{M}|^2 \times (\text{espacio de fase})$$

## Regla de oro de Fermi

En el cálculo de  $\Gamma$  ó  $\sigma$ , tenemos dos ingredientes:

- la amplitud del proceso,  $\mathcal{M}$ ; y
- el espacio de fase disponible

$\mathcal{M}$  contiene toda la **información dinámica**

- la calculamos evaluando los diagramas de Feynman relevantes usando las “reglas de Feynman”

El espacio de fase contiene sólo **información cinemática**

- depende de las masas, energías y momentos de las partículas

Regla de oro de Fermi:

$$\text{tasa de transición} = \frac{2\pi}{\hbar} |\mathcal{M}|^2 \times (\text{espacio de fase})$$

# Regla de oro para decaimientos

Supongamos que la partícula 1 decae según:

$$1 \rightarrow 2 + 3 + 4 + \dots + n .$$

La tasa de decaimiento está dada por:

$$d\Gamma = |\mathcal{M}|^2 \frac{S}{2\hbar m_1} \left[ \left( \frac{cd^3 p_2}{(2\pi)^3 2E_2} \right) \left( \frac{cd^3 p_3}{(2\pi)^3 2E_3} \right) \dots \left( \frac{cd^3 p_n}{(2\pi)^3 2E_n} \right) \right] \\ \times (2\pi)^4 \delta^{(4)}(p_1 - p_2 - p_3 - \dots - p_n)$$

- $p_i = (E_i/c, \vec{p}_i)$ : cuadrimomentum de la  $i$ -ésima partícula
- la función  $\delta$  fuerza la **conservación de energía y momentum**
- la partícula 1 está en reposo, i.e.,  $p_1 = (m_1 c, \vec{0})$
- $S$  es el producto de factores estadísticos –  $1/j!$  por cada grupo de  $j$  partículas idénticas finales

## Decaimiento a dos cuerpos:

$$1 \rightarrow 2 + 3$$

Tasa de decaimiento total:

$$\Gamma = \frac{S}{\hbar m_1} \left( \frac{c}{4\pi} \right)^2 \frac{1}{2} \int_0^\infty \frac{|\mathcal{M}|^2}{E_2 E_3} \delta^{(4)}(p_1 - p_2 - p_3) d^3 p_2 d^3 p_3$$

Después de un poco de álgebra (ver, e.g., Griffiths 1987), obtenemos

$$\Gamma = \frac{S |\vec{\mathbf{p}}|}{8\pi\hbar m_1^2 c} |\mathcal{M}|^2$$

$|\vec{\mathbf{p}}| = |\vec{\mathbf{p}}_2| = |\vec{\mathbf{p}}_3|$ , dado por

$$|\vec{\mathbf{p}}| = \frac{c}{2m_1} \sqrt{m_1^4 + m_2^4 + m_3^4 - 2m_1^2 m_2^2 - 2m_1^2 m_3^2 - 2m_2^2 m_3^2}$$

# Regla de oro para dispersiones

Supongamos que las partículas 1 y 2 colisionan, produciendo 3, 4, ..., n:

$$1 + 2 \rightarrow 3 + 4 + \dots + n$$

La sección de choque está dada por

$$d\sigma = |\mathcal{M}|^2 \frac{\hbar^2 S}{4\sqrt{(p_1 \cdot p_2)^2 - (m_1 m_2 c^2)^2}} \left[ \left( \frac{cd^3 p_3}{(2\pi)^3 2E_3} \right) \left( \frac{cd^3 p_4}{(2\pi)^3 2E_4} \right) \dots \left( \frac{cd^3 p_n}{(2\pi)^3 2E_n} \right) \right] \\ \times (2\pi)^4 \delta^{(4)}(p_1 + p_2 - p_3 - p_4 - \dots - p_n)$$

- el momentum de la partícula  $i$  está entre  $\vec{p}_i$  y  $\vec{p}_i + d\vec{p}_i$
- usualmente, nos interesa sólo el ángulo de salida de, e.g., la partícula 3
  - integramos en  $(\vec{p}_4, \vec{p}_5, \dots, \vec{p}_n)$  y en  $|\vec{p}_3|$
- lo que resta es  $d\sigma/d\Omega$ 
  - la sección de choque diferencial para la dispersión de 3 en un ángulo sólido  $d\Omega$

## Dispersión de dos cuerpos:

$$1 + 2 \rightarrow 3 + 4$$

De la regla de oro,

$$d\sigma = |\mathcal{M}|^2 \frac{\hbar^2 S}{4\sqrt{(p_1 \cdot p_2)^2 - (m_1 m_2 c^2)^2}} \left( \frac{cd^3 p_3}{(2\pi)^3 2E_3} \right) \left( \frac{cd^3 p_4}{(2\pi)^3 2E_4} \right) \\ \times (2\pi)^4 \delta^{(4)}(p_1 + p_2 - p_3 - p_4) ,$$

tras un poco de álgebra (Griffiths 1987), obtenemos

$$\left( \frac{d\sigma}{d\Omega} \right)_{CM} = \left( \frac{\hbar c}{8\pi} \right)^2 \frac{S |\mathcal{M}|^2}{(E_1 + E_2)^2} \frac{|\vec{p}_f|}{|\vec{p}_i|} ,$$

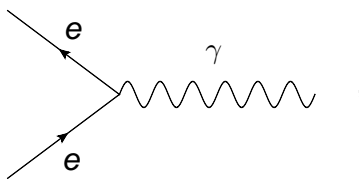
con  $|\vec{p}_f| = |\vec{p}_3|$  ó  $|\vec{p}_4|$  y  $|\vec{p}_i| = |\vec{p}_1|$  ó  $|\vec{p}_2|$ .

# Contenido

- 1 Introducción: ¿qué es la física de partículas?
- 2 Cinemática relativista
- 3 Decaimientos y dispersiones
- 4 Una teoría juguete
- 5 Electrodinámica cuántica (QED)
- 6 Teorías gauge

Tenemos expresiones para las tasas de decaimiento y las secciones de choque en términos de la amplitud  $|\mathcal{M}|$  – introduciremos ahora las “**reglas de Feynman**” para calcular la amplitud.

En una dispersión real electrón-fotón,



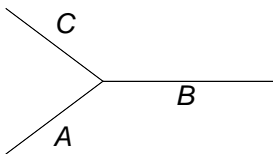
tenemos la complicación de que el electrón tiene espín 1/2 y el fotón, espín 1.

Para introducir las reglas de Feynman, usaremos una **teoría juguete** de partículas sin espín.

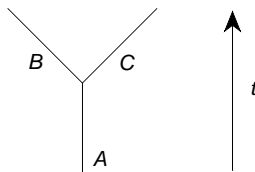
Imaginemos un mundo con sólo tres tipos de partículas –  $A$ ,  $B$  y  $C$ .

- ▶ masas  $m_A$ ,  $m_B$ ,  $m_C$ , con  $m_A > m_B + m_C$
- ▶ espín 0
- ▶ partículas = antipartículas

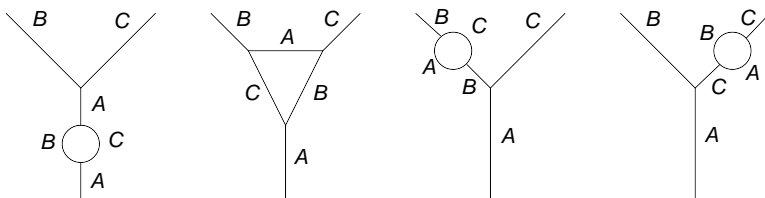
Vértice fundamental:



Como  $m_A > m_B + m_C$ , A puede decaer en  $B + C$ . A más bajo orden,



Existen correcciones de mayor orden, e.g., de orden tres:

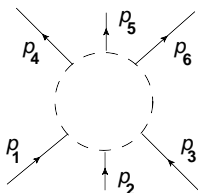


Cada vértice contribuye un factor multiplicativo  $g < 1$  al cómputo de  $\mathcal{M}$ .

∴ los diagramas de orden más alto contribuyen menos

# Reglas de Feynman para la teoría ABC

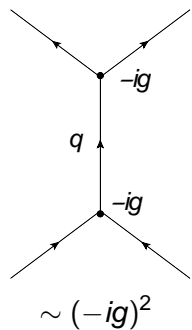
- 1 Notación.** Etiquetar los momentos entrantes y salientes  $p_1, p_2, \dots, p_n$ . Etiquetar los momentos internos  $q_1, q_2, \dots$ . Las flechas apuntan en la dirección del momentum de la partícula (entrante/saliente).



- 2 Constante de acoplamiento.** Por cada vértice, escribir un factor de

$$-ig .$$

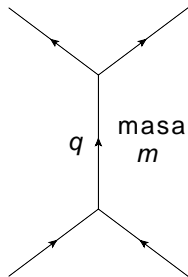
$g$  es la **constante de acoplamiento**; especifica la intensidad de la interacción entre  $A, B$  y  $C$ .



- ③ **Propagador.** Por cada línea interna, escribir un factor

$$\frac{i}{q_j^2 - m^2 c^2} ,$$

Las líneas internas representan **partículas virtuales**, indetectables, que no satisface la relación energía-momentum, i.e.,  $q_j^2 \neq m_j^2 c^2$ ).

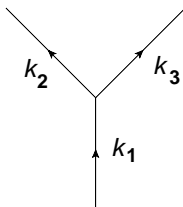


- ④ **Conservación de energía y momentum.**

Por cada vértice, escribir una función delta de la forma

$$(2\pi)^4 \delta^{(4)}(k_1 - k_2 - k_3) ,$$

donde los los  $k_i$  son cuadrimomentos que *entran* al vértice (si es saliente, entonces agregar un signo menos).



- ⑤ **Integración sobre momentos internos.** Por cada línea interna, escribir un factor

$$\frac{1}{(2\pi)^4} d^4 q_j$$

e integrar sobre todos los momentos internos.

- ⑥ **Cancelar la función delta.** El resultado incluirá una función delta

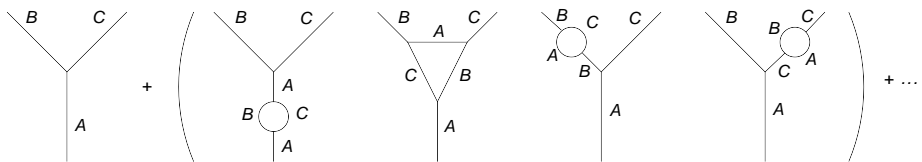
$$(2\pi)^4 \delta^{(4)}(p_1 + p_2 + \dots - p_n)$$

que asegura la conservación global de energía y momentum.  
Eliminarla; lo que queda es  $-i\mathcal{M}$ .

$\mathcal{M}$  es siempre invariante de Lorentz

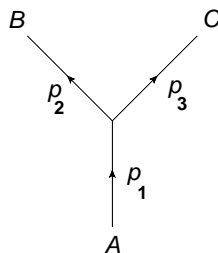
# Tiempo de vida de A

El decaimiento  $A \rightarrow B + C$  recibe contribuciones de varios órdenes:



Los diagramas de orden  $n$  contribuyen términos de orden  $(-ig)^n$ .

Asumiendo  $g < 1$ , nos quedamos con la **contribución principal**: el diagrama de **primer orden**.



No hay líneas internas.

Un vértice:  $-ig(2\pi)^4 \delta^{(4)}(p_1 - p_2 - p_3)$

Eliminamos la función delta (regla 6) y obtenemos  
 $-i\mathcal{M} = -ig$ , ó

$$\mathcal{M} = g .$$

Tasa de decaimiento a dos cuerpos:

$$\Gamma = \frac{S |\vec{\mathbf{p}}|}{8\pi\hbar m_A^2 c} |\mathcal{M}|^2 = \frac{g^2 |\vec{\mathbf{p}}|}{8\pi\hbar m_A^2 c}$$

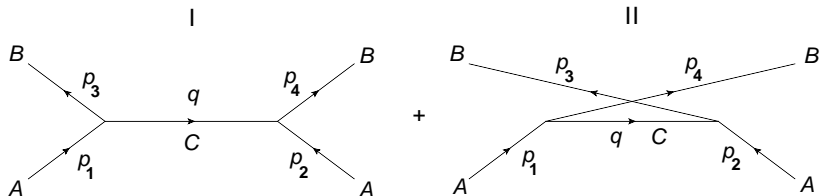
$$|\vec{\mathbf{p}}| = \frac{c}{2m_A} \sqrt{m_A^4 + m_B^4 + m_C^4 - 2m_A^2 m_B^2 - 2m_A^2 m_C^2 - 2m_B^2 m_C^2}$$

Tiempo de vida de  $A$ :

$$\tau = \frac{1}{\Gamma} = \frac{8\pi\hbar m_A^2 c}{g^2 |\vec{\mathbf{p}}|} .$$

# Dispersión $A + A \rightarrow B + B$

A orden más bajo (dos vértices), contribuyen dos diagramas:



Calculemos primero el **diagrama I**:

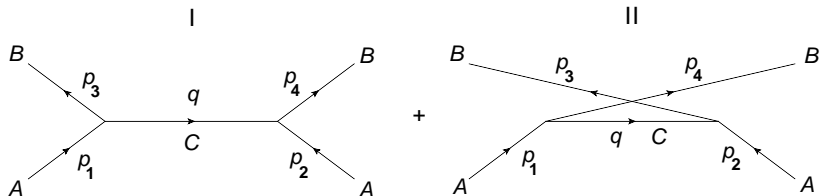
- dos vértices:  $(-ig)^2$
- un propagador:  $\frac{i}{q^2 - m_C^2 c^2}$
- dos funciones delta:  $(2\pi)^4 \delta^{(4)}(p_1 - p_3 - q)$  y  $(2\pi)^4 \delta^{(4)}(p_2 + q - p_4)$
- una integración:  $d^4 q / (2\pi)^4$

$$-i\mathcal{M}_I (2\pi)^4 \delta^{(4)}(p_1 + p_2 - p_3 - p_4)$$

$$= -i (2\pi)^4 g^2 \int \frac{1}{q^2 - m_C^2 c^2} \delta^{(4)}(p_1 - p_3 - q) \delta^{(4)}(p_2 + q - p_4) d^4 q$$

# Dispersión $A + A \rightarrow B + B$

A orden más bajo (dos vértices), contribuyen dos diagramas:



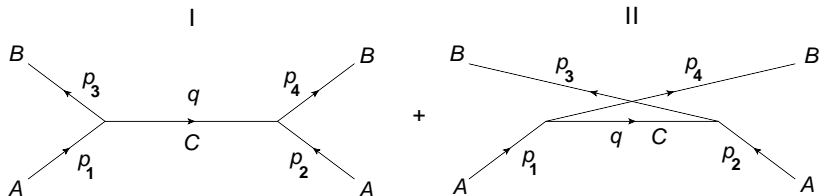
Calculemos primero el **diagrama I**:

- ▶ dos vértices:  $(-ig)^2$
- ▶ un propagador:  $\frac{i}{q^2 - m_C^2 c^2}$
- ▶ dos funciones delta:  $(2\pi)^4 \delta^{(4)}(p_1 - p_3 - q)$  y  $(2\pi)^4 \delta^{(4)}(p_2 + q - p_4)$
- ▶ una integración:  $d^4 q / (2\pi)^4$

$$\begin{aligned}
 & -i\mathcal{M}_I (2\pi)^4 \delta^{(4)}(p_1 + p_2 - p_3 - p_4) \\
 & = -i (2\pi)^4 g^2 \int \frac{1}{q^2 - m_C^2 c^2} \delta^{(4)}(p_1 - p_3 - q) \delta^{(4)}(p_2 + q - p_4) d^4 q
 \end{aligned}$$

# Dispersión $A + A \rightarrow B + B$

A orden más bajo (dos vértices), contribuyen dos diagramas:



Calculemos primero el **diagrama I**:

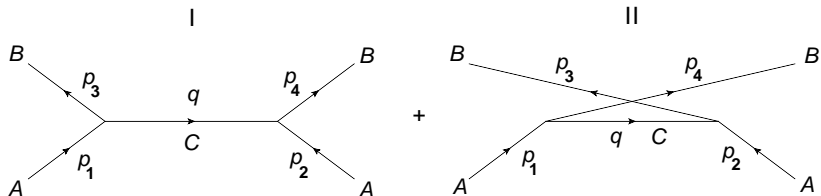
- **dos vértices:**  $(-ig)^2$
- **un propagador:**  $\frac{i}{q^2 - m_C^2 c^2}$
- **dos funciones delta:**  $(2\pi)^4 \delta^{(4)}(p_1 - p_3 - q)$  y  $(2\pi)^4 \delta^{(4)}(p_2 + q - p_4)$
- **una integración:**  $d^4 q / (2\pi)^4$

$$-i\mathcal{M}_I (2\pi)^4 \delta^{(4)}(p_1 + p_2 - p_3 - p_4)$$

$$= -i (2\pi)^4 g^2 \int \frac{1}{q^2 - m_C^2 c^2} \delta^{(4)}(p_1 - p_3 - q) \delta^{(4)}(p_2 + q - p_4) d^4 q$$

# Dispersión $A + A \rightarrow B + B$

A orden más bajo (dos vértices), contribuyen dos diagramas:



Calculemos primero el **diagrama I**:

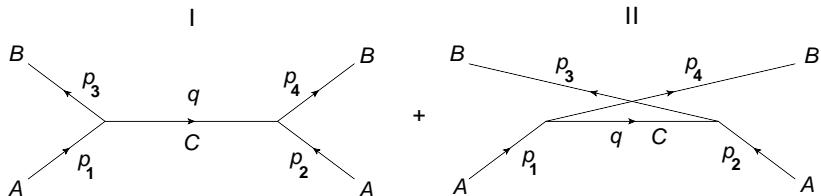
- dos vértices:  $(-ig)^2$
- un propagador:  $\frac{i}{q^2 - m_C^2 c^2}$
- dos funciones delta:  $(2\pi)^4 \delta^{(4)}(p_1 - p_3 - q)$  y  $(2\pi)^4 \delta^{(4)}(p_2 + q - p_4)$
- una integración:  $d^4 q / (2\pi)^4$

$$-i\mathcal{M}_I (2\pi)^4 \delta^{(4)}(p_1 + p_2 - p_3 - p_4)$$

$$= -i (2\pi)^4 g^2 \int \frac{1}{q^2 - m_C^2 c^2} \delta^{(4)}(p_1 - p_3 - q) \delta^{(4)}(p_2 + q - p_4) d^4 q$$

# Dispersión $A + A \rightarrow B + B$

A orden más bajo (dos vértices), contribuyen dos diagramas:



Calculemos primero el **diagrama I**:

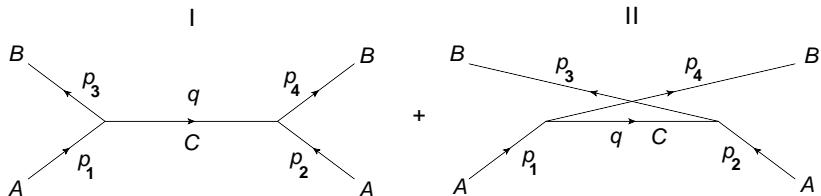
- dos vértices:  $(-ig)^2$
- un propagador:  $\frac{i}{q^2 - m_C^2 c^2}$
- dos funciones delta:  $(2\pi)^4 \delta^{(4)}(p_1 - p_3 - q)$  y  $(2\pi)^4 \delta^{(4)}(p_2 + q - p_4)$
- una integración:  $d^4 q / (2\pi)^4$

$$-i\mathcal{M}_I (2\pi)^4 \delta^{(4)}(p_1 + p_2 - p_3 - p_4)$$

$$= -i (2\pi)^4 g^2 \int \frac{1}{q^2 - m_C^2 c^2} \delta^{(4)}(p_1 - p_3 - q) \delta^{(4)}(p_2 + q - p_4) d^4 q$$

# Dispersión $A + A \rightarrow B + B$

A orden más bajo (dos vértices), contribuyen dos diagramas:



Calculemos primero el **diagrama I**:

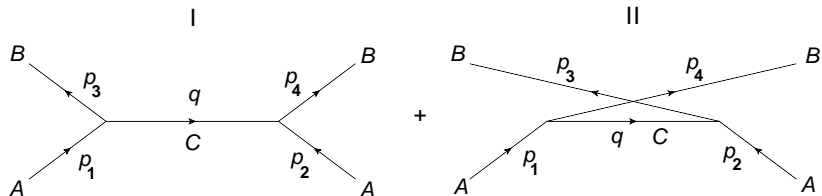
- dos vértices:  $(-ig)^2$
- un propagador:  $\frac{i}{q^2 - m_C^2 c^2}$
- dos funciones delta:  $(2\pi)^4 \delta^{(4)}(p_1 - p_3 - q)$  y  $(2\pi)^4 \delta^{(4)}(p_2 + q - p_4)$
- una integración:  $d^4 q / (2\pi)^4$

$$-i\mathcal{M}_I (2\pi)^4 \delta^{(4)}(p_1 + p_2 - p_3 - p_4)$$

$$= -i (2\pi)^4 g^2 \int \frac{1}{q^2 - m_C^2 c^2} \delta^{(4)}(p_1 - p_3 - q) \delta^{(4)}(p_2 + q - p_4) d^4 q$$

# Dispersión $A + A \rightarrow B + B$

A orden más bajo (dos vértices), contribuyen dos diagramas:



Calculemos primero el **diagrama I**:

- dos vértices:  $(-ig)^2$
- un propagador:  $\frac{i}{q^2 - m_C^2 c^2}$
- dos funciones delta:  $(2\pi)^4 \delta^{(4)}(p_1 - p_3 - q)$  y  $(2\pi)^4 \delta^{(4)}(p_2 + q - p_4)$
- una integración:  $d^4 q / (2\pi)^4$

$$-i\mathcal{M}_I (2\pi)^4 \delta^{(4)}(p_1 + p_2 - p_3 - p_4)$$

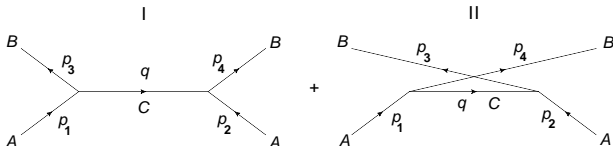
$$= -i (2\pi)^4 g^2 \int \frac{1}{q^2 - m_C^2 c^2} \delta^{(4)}(p_1 - p_3 - q) \delta^{(4)}(p_2 + q - p_4) d^4 q$$

fuerza  $q = p_4 - p_2$ 

$$\begin{aligned}
 & -i\mathcal{M}_I (2\pi)^4 \delta^{(4)}(p_1 + p_2 - p_3 - p_4) \\
 &= -i(2\pi)^4 g^2 \int \frac{1}{q^2 - m_C^2 c^2} \delta^{(4)}(p_1 - p_3 - q) \delta^{(4)}(p_2 + q - p_4) d^4 q \\
 &= -ig^2 \frac{1}{(p_4 - p_2)^2 - m_C^2 c^2} (2\pi)^4 \delta^{(4)}(p_1 + p_2 - p_3 - p_4)
 \end{aligned}$$

Entonces,

$$\mathcal{M}_I = \frac{g^2}{(p_4 - p_2)^2 - m_C^2 c^2}.$$

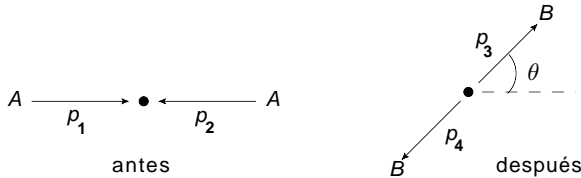
La amplitud para el **diagrama II** es simplemente

$$\mathcal{M}_{II} = \mathcal{M}_I(p_3 \leftrightarrow p_4) = \frac{g^2}{(p_3 - p_2)^2 - m_C^2 c^2}.$$

Entonces, a orden  $g^2$ , la amplitud para  $A + A \rightarrow B + B$  es:

$$\mathcal{M} = \mathcal{M}_I + \mathcal{M}_{II} = \frac{g^2}{(p_4 - p_2)^2 - m_C^2 c^2} + \frac{g^2}{(p_3 - p_2)^2 - m_C^2 c^2}$$

Asumamos  $m_A = m_B = m$  y  $m_C = 0$ . En el sistema CM:



$$\left. \begin{array}{l} (p_4 - p_2)^2 - m_C^2 c^2 = -2 |\vec{p}|^2 (1 - \cos \theta) \\ (p_3 - p_2)^2 - m_C^2 c^2 = -2 |\vec{p}|^2 (1 + \cos \theta) \end{array} \right\} \Rightarrow \mathcal{M} = -\frac{g^2}{|\vec{p}|^2 \sin^2 \theta}$$

$$\left( \frac{d\sigma}{d\Omega} \right)_{CM} = \left( \frac{\hbar c}{8\pi} \right)^2 \frac{S |\mathcal{M}|^2}{(E_1 + E_2)^2} \Rightarrow \left( \frac{d\sigma}{d\Omega} \right)_{CM} = \frac{1}{2} \left( \frac{\hbar c g^2}{16\pi E |\vec{p}|^2 \sin^2 \theta} \right)^2$$

# Contenido

- 1 Introducción: ¿qué es la física de partículas?
- 2 Cinemática relativista
- 3 Decaimientos y dispersiones
- 4 Una teoría juguete
- 5 Electrodinámica cuántica (QED)
- 6 Teorías gauge

En **mecánica cuántica no relativista**, las partículas son descritas por la ecuación de Schrödinger.

En **mecánica cuántica relativista**:

espín	ecuación	describe, por ejemplo, a
espín 0	Klein-Gordon	piones, Higgs
espín 1/2	Dirac	quarks y leptones
espín 1	Proca	$W^\pm, Z$

QED está basada en la ecuación de Dirac  
– recordemos brevemente cómo deducirla ►

# La ecuación de Dirac

Trataremos de “factorizar” la relación de energía-momentum,

$$p_\mu p^\mu - m^2 c^2 = 0 \quad (= (p^0)^2 - (p^1)^2 - (p^2)^2 - (p^3)^2 - m^2 c^2) .$$

Asumamos primero que  $\vec{p} = \vec{0}$ ; en este caso, es sencillo factorizar:

$$(p^0)^2 - m^2 c^2 = (p^0 + mc)(p^0 - mc) ,$$

de donde

$$(p^0 - mc) = 0 \quad \text{ó} \quad (p^0 + mc) = 0 .$$

Permitamos ahora  $\vec{p} \neq \vec{0}$ ; buscamos una factorización en la forma

$$\begin{aligned}(p^\mu p_\mu - m^2 c^2) &= (\beta^\kappa p_\kappa + mc) (\gamma^\lambda p_\lambda - mc) \\ &= \beta^\kappa \gamma^\lambda p_\kappa p_\lambda - mc (\beta^\kappa - \gamma^\kappa) p_\kappa - m^2 c^2,\end{aligned}$$

con  $\beta^\kappa$  y  $\gamma^\lambda$  ocho coeficientes por determinar.

Eliminamos los términos lineales en  $p_\kappa$  tomando  $\beta^\kappa = \gamma^\kappa$ .

Igualamos los términos cuadráticos:

$$p^\mu p_\mu = \gamma^\kappa \gamma^\lambda p_\kappa p_\lambda$$

Expandimos  $p^\mu p_\mu = \gamma^\kappa \gamma^\lambda p_\kappa p_\lambda$ :

$$\begin{aligned} & (p^0)^2 - (p^1)^2 - (p^2)^2 - (p^3)^2 \\ &= (\gamma^0)^2 (p^0)^2 + (\gamma^1)^2 (p^1)^2 + (\gamma^2)^2 (p^2)^2 + (\gamma^3)^2 (p^3)^2 \\ &\quad + (\gamma^0 \gamma^1 + \gamma^1 \gamma^0) p_0 p_1 + (\gamma^0 \gamma^2 + \gamma^2 \gamma^0) p_0 p_2 + (\gamma^0 \gamma^3 + \gamma^3 \gamma^0) p_0 p_3 \\ &\quad + (\gamma^1 \gamma^2 + \gamma^2 \gamma^1) p_1 p_2 + (\gamma^1 \gamma^3 + \gamma^3 \gamma^1) p_1 p_3 + (\gamma^2 \gamma^3 + \gamma^3 \gamma^2) p_2 p_3 \end{aligned}$$

Podríamos escoger  $\gamma^0 = 1$  y  $\gamma^1 = \gamma^2 = \gamma^3 = i$ , pero no podemos deshacernos de los términos cruzados ...

... a menos que los  $\gamma$ 's sean matrices, en vez de números

Como las matrices no comutan, podríamos encontrar un conjunto tal que

$$(\gamma^0)^2 = 1 , \quad (\gamma^1)^2 = (\gamma^2)^2 = (\gamma^3)^2 = -1 ,$$

$$\gamma^\mu \gamma^\nu + \gamma^\nu \gamma^\mu = 0 , \quad \text{para } \mu \neq \nu$$

Equivalentemente,

anticonmutador:  $\{A, B\} \equiv AB + BA$

$$\{\gamma^\mu, \gamma^\nu\} = 2g^{\mu\nu}$$

Las matrices más pequeñas que satisfacen  $\{\gamma^\mu, \gamma^\nu\} = 2g^{\mu\nu}$  son  $4 \times 4$ .

En la convención de Bjorken-Drell:

$$\gamma^0 = \begin{pmatrix} 1 & 0 \\ 0 & -1 \end{pmatrix} \quad , \quad \gamma^i = \begin{pmatrix} 0 & \sigma^i \\ -\sigma^i & 0 \end{pmatrix} \quad ,$$

con  $\sigma^i$  ( $i = 1, 2, 3$ ) las matrices de Pauli:

$$\sigma^1 = \begin{pmatrix} 0 & 1 \\ 1 & 0 \end{pmatrix} \quad , \quad \sigma^2 = \begin{pmatrix} 0 & i \\ -i & 0 \end{pmatrix} \quad , \quad \sigma^3 = \begin{pmatrix} 1 & 0 \\ 0 & -1 \end{pmatrix} \quad .$$

Entonces, como una ecuación matricial  $4 \times 4$ , la relación de energía-momentum sí se factoriza:

$$p^\mu p_\mu - m^2 c^2 = (\gamma^\kappa p_\kappa + mc) (\gamma^\lambda p_\lambda - mc) = 0 .$$

Escogemos uno de los términos, e.g.,

$$\gamma^\lambda p_\lambda - mc = 0 ,$$

sustituimos  $p_\mu \rightarrow i\hbar\partial_\mu$  y aplicamos sobre la función de onda  $\psi$ , para hallar la **ecuación de Dirac**:

$$(i\hbar\gamma^\mu \partial_\mu - mc) \psi = 0 .$$

$\psi$  es ahora un “bi-espinor”, i.e., un vector columna de cuatro entradas:

$$\psi = \begin{pmatrix} \psi_1 \\ \psi_2 \\ \psi_3 \\ \psi_4 \end{pmatrix} .$$

Las soluciones de la ecuación de Dirac que usamos son ondas planas:

$$\psi(x) = a e^{-(i/\hbar)p \cdot x} u(p) ,$$

con  $a$  una constante de normalización y  $u$  un biespinor.

Es posible demostrar que existen dos soluciones para  $E = \sqrt{m^2 c^4 + |\vec{p}|^2 c^2}$ ,

$$u^{(1)} = N \begin{pmatrix} 1 \\ 0 \\ \frac{cp_z}{E + mc^2} \\ \frac{c(p_x + ip_y)}{E + mc^2} \end{pmatrix} , \quad u^{(2)} = N \begin{pmatrix} 0 \\ 1 \\ \frac{c(p_x - ip_y)}{E + mc^2} \\ \frac{-cp_z}{E + mc^2} \end{pmatrix} ,$$

y dos soluciones para  $E = -\sqrt{m^2 c^4 + |\vec{p}|^2 c^2}$ ,

$$u^{(3)} = N \begin{pmatrix} \frac{cp_z}{E - mc^2} \\ \frac{c(p_x + ip_y)}{E - mc^2} \\ 1 \\ 0 \end{pmatrix} , \quad u^{(4)} = N \begin{pmatrix} \frac{c(p_x - ip_y)}{E - mc^2} \\ \frac{-cp_z}{E - mc^2} \\ 0 \\ 1 \end{pmatrix} ,$$

con  $N = \sqrt{(|E| + mc^2)/c}$  una constante de normalización.

Uno podría pensar que  $u^{(1)}$  describe a un electrón con espín *up*,  $u^{(2)}$  a un electrón con espín *down*, etc., **pero en general no es así.**

Matrices de espín para partículas Dirac:

$$\vec{\mathbf{S}} = \frac{\hbar}{2} \vec{\Sigma} \quad , \quad \text{con} \quad \vec{\Sigma} = \begin{pmatrix} \vec{\sigma} & 0 \\ 0 & \vec{\sigma} \end{pmatrix}$$

En general, las  $u^{(i)}$  **no** son autoestados de  $\Sigma_z$ .

Pero, si orientamos el eje  $z$  de manera que  $p_x = p_y = 0$ , entonces las  $u^{(i)}$  sí son auto-biespinores de  $S_z$ :

- $u^{(1)}$  y  $u^{(3)}$  son espín *up*
- $u^{(2)}$  y  $u^{(4)}$  son espín *down*

$u^{(1)}$  y  $u^{(2)}$  describen estados de electrón con  $E > 0$

Pero  $u^{(3)}$  y  $u^{(4)}$  no pueden describir estados de positrón con  $E < 0$ , porque tanto  $e^-$  como  $e^+$  tienen energía positiva.

soluciones de “energía negativa” = estados de antípartículas con “energía positiva”

$$v^{(1)}(E, \vec{p}) = u^{(4)}(-E, -\vec{p}) = N \begin{pmatrix} \frac{c(p_x - ip_y)}{E + mc^2} \\ \frac{-cp_z}{E + mc^2} \\ 0 \\ 1 \end{pmatrix},$$

$$v^{(2)}(E, \vec{p}) = u^{(3)}(-E, -\vec{p}) = N \begin{pmatrix} \frac{cp_z}{E + mc^2} \\ \frac{c(p_x + ip_y)}{E + mc^2} \\ 1 \\ 0 \end{pmatrix},$$

con  $E = \sqrt{m^2 c^4 + |\vec{p}|^2 c^2} > 0$ .

$v^{(1)}$  y  $v^{(2)}$  describen estados de positrón con  $E > 0$

espacio de posición	<b>electrones</b> $\psi(x) = a e^{-(i/\hbar)p \cdot x} u^{(s)}(p)$ $(\gamma^\mu p_\mu - mc) u = 0$	espacio de momentum	<b>positrones</b> $\psi(x) = a e^{(i/\hbar)p \cdot x} v^{(s)}(p)$ $(\gamma^\mu p_\mu + mc) v = 0$
---------------------	--	---------------------	---

Definimos los adjuntos como

$$\bar{u} \equiv u^\dagger \gamma^0 \quad , \quad \bar{v} \equiv v^\dagger \gamma^0 .$$

Las soluciones son ortogonales,

$$\bar{u}^{(1)} u^{(2)} = 0 \quad , \quad \bar{v}^{(1)} v^{(2)} = 0 \quad ,$$

normalizadas,

$$\bar{u} u = 2mc \quad , \quad \bar{v} v = -2mc$$

y completas, i.e.,

$$\sum_{s=1,2} u^{(s)} \bar{u}^{(s)} = \gamma^\mu p_\mu + mc \quad , \quad \sum_{s=1,2} v^{(s)} \bar{v}^{(s)} = \gamma^\mu p_\mu - mc \quad .$$

# El fotón

Las ecuaciones de Maxwell,

$$\nabla \cdot \vec{\mathbf{E}} = 4\pi\rho \quad , \quad \nabla \cdot \vec{\mathbf{B}} = 0 \quad ,$$

$$\nabla \times \vec{\mathbf{E}} + \frac{1}{c} \frac{\partial \vec{\mathbf{B}}}{\partial t} = 0 \quad , \quad \nabla \times \vec{\mathbf{B}} - \frac{1}{c} \frac{\partial \vec{\mathbf{E}}}{\partial t} = \frac{4\pi}{c} \vec{\mathbf{J}} \quad ,$$

pueden escribirse en notación relativista como

$$\partial_\mu F^{\mu\nu} = \frac{4\pi}{c} J^\nu \quad ,$$

con el tensor electromagnético dado por

$$F^{\mu\nu} = \partial^\mu A^\nu - \partial^\nu A^\mu = \begin{pmatrix} 0 & -E_x & -E_y & -E_z \\ E_x & 0 & -B_z & B_y \\ E_y & B_z & 0 & -B_x \\ E_z & -B_y & B_x & 0 \end{pmatrix} \quad ,$$

el cuadripotencial

$$A^\mu = (V, \vec{\mathbf{A}})$$

y la cuadricorriente

$$J^\mu = (c\rho, \vec{\mathbf{J}}) \quad .$$

ec. de Klein-Gordon con  $m = 0$ 

Con esto, las ecs. de Maxwell quedan

$$\partial_\mu \partial^\mu A^\nu - \partial^\nu (\partial_\mu A^\mu) = \frac{4\pi}{c} J^\nu .$$

en el gauge de Lorentz ( $\partial_\mu A^\mu = 0$ )    }     $A^\mu$  satisface la ecuación de onda  
 en el vacío ( $J^\mu = 0$ )    }     $\square A^\mu = 0$

$\square \equiv \partial_\mu \partial^\mu$ : operador d'Alembertiano

Solución de onda plana:

$$A^\mu(x) = a e^{-(i/\hbar)p \cdot x} \epsilon^\mu(p)$$

$\epsilon^\mu$ : vector de polarización que caracteriza al espín del fotón

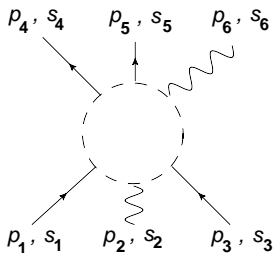
Dos posibles orientaciones:

$$\epsilon_{(1)} = (1, 0, 0) \quad \epsilon_{(2)} = (0, 1, 0)$$

# Reglas de Feynman para QED

- 1 Notación.** Etiquetar los cuadrimomentos entrantes y salientes  $p_1, p_2, \dots, p_n$  y los correspondientes espines  $s_1, s_2, \dots, s_n$ ; etiquetar los cuadrimomentos internos  $q_1, q_2, \dots$

Las flechas en líneas externas indican si es un  $e^-$  o un  $e^+$ ; las flechas internas se asignan para que sigan la “dirección del flujo” a través del diagrama.



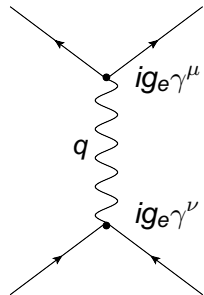
- 2 Líneas externas.** Las líneas externas contribuyen con:

Electrones:	$\left\{ \begin{array}{l} \text{Entrantes} \\ \text{Salientes} \end{array} \right. \quad \begin{array}{c} (\nearrow \bullet) \\ (\bullet \searrow) \end{array} : \quad \begin{array}{l} u \\ \bar{u} \end{array}$
Positrones:	$\left\{ \begin{array}{l} \text{Entrantes} \\ \text{Salientes} \end{array} \right. \quad \begin{array}{c} (\nearrow \bullet) \\ (\bullet \searrow) \end{array} : \quad \begin{array}{l} \bar{v} \\ v \end{array}$
Fotones:	$\left\{ \begin{array}{l} \text{Entrantes} \\ \text{Salientes} \end{array} \right. \quad \begin{array}{c} (\nwarrow \bullet) \\ (\bullet \nearrow) \end{array} : \quad \begin{array}{l} \epsilon^\mu \\ \epsilon^{\mu*} \end{array}$

- ③ **Factores de vértice.** Cada vértice contribuye un factor

$$ig_e \gamma^\mu,$$

con  $g_e = \sqrt{4\pi\alpha}$  adimensional.



- ④ **Propagadores.** Cada línea interna contribuye un factor:

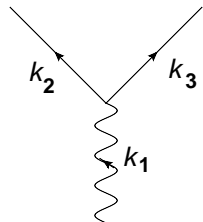
Electrones y positrones:  $\frac{i(\gamma^\mu q_\mu + mc)}{q^2 - m^2 c^2}$

Fotones:  $\frac{-ig_{\mu\nu}}{q^2}$

**5 Conservación de energía y momentum.**

Por cada vértice, escribir la función delta

$$(2\pi)^2 \delta^{(4)}(k_1 + k_2 + k_3)$$



**6 Integrar sobre momentos internos.** Por cada momento interno  $q$ , escribir un factor

$$\frac{d^4 q}{(2\pi)^4}$$

e integrar.

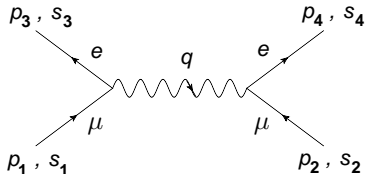
- 7 **Cancelar la función delta.** El resultado incluirá un factor

$$(2\pi)^4 \delta^{(4)}(p_1 + p_2 + \dots - p_n) ,$$

que corresponde a la conservación global de energía-momentum. Eliminarlo; lo que resta es  $-iM$ .

- 8 **Antisimetrización.** Incluir un signo menos entre diagramas que difieren sólo en el intercambio de dos electrones (o positrones) entrantes (o salientes), o de un electrón entrante por un positrón saliente (o viceversa).

# Ejemplo: dispersión electrón-muón



Al aplicar las reglas de Feynman, vamos de adelante hacia atrás:

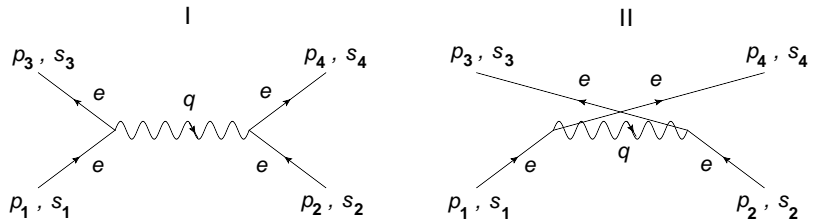
$$\begin{aligned}
 & -i\mathcal{M} (2\pi)^4 \delta^{(4)}(p_1 + p_2 - p_3 - p_4) \\
 &= (2\pi)^4 \int \left[ \bar{u}^{(s_3)}(p_3) (ig_e \gamma^\mu) u^{(s_1)}(p_1) \right] \frac{-ig_{\mu\nu}}{q^2} \left[ \bar{u}^{(s_4)}(p_4) (ig_e \gamma^\nu) u^{(s_2)}(p_2) \right] \\
 &\quad \times \delta^{(4)}(p_1 - p_3 - q) \delta^{(4)}(p_2 + q - p_4) d^4 q
 \end{aligned}$$

Integrando, obtenemos

$$\gamma^\mu g_{\mu\nu} \gamma^\nu = \gamma^\mu \gamma_\mu$$

$$\mathcal{M} = -\frac{g_e^2}{(p_1 - p_3)^2} \left[ \bar{u}^{(s_3)}(p_3) \gamma^\mu u^{(s_1)}(p_1) \right] \left[ \bar{u}^{(s_4)}(p_4) \gamma_\mu u^{(s_2)}(p_2) \right]$$

# Ejemplo: dispersión electrón-electrón



$$\mathcal{M}_I = \mathcal{M} (e^- \mu^- \rightarrow e^- \mu^-) = -\frac{g_e^2}{(p_1 - p_3)^2} [\bar{u}(3) \gamma^\mu u(1)] [\bar{u}(4) \gamma_\mu u(2)]$$

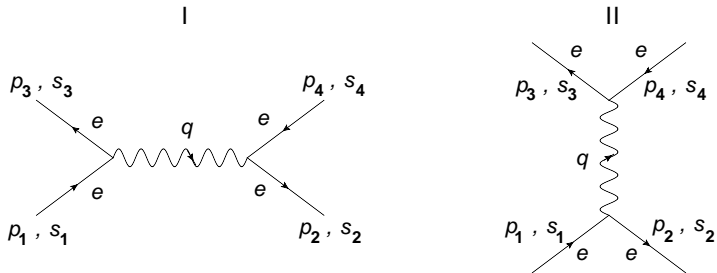
$$\mathcal{M}_{II} = \mathcal{M}_I (p_3 \leftrightarrow p_4)$$

antisimetrización

$$\mathcal{M} = \mathcal{M}_I + \mathcal{M}_{II}$$

$$\begin{aligned}
 &= -\frac{g_e^2}{(p_1 - p_3)^2} [\bar{u}(3) \gamma^\mu u(1)] [\bar{u}(4) \gamma_\mu u(2)] \\
 &\quad + \frac{g_e^2}{(p_1 - p_4)^2} [\bar{u}(4) \gamma^\mu u(1)] [\bar{u}(3) \gamma_\mu u(2)]
 \end{aligned}$$

# Ejemplo: dispersión electrón-positrón

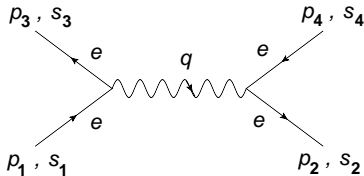


El primer diagrama es similar al de la disipersión electrón-muón:

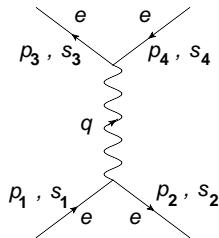
$$\begin{aligned}
 & -i\mathcal{M}_I (2\pi)^4 \delta^{(4)}(p_1 + p_2 - p_3 - p_4) \\
 & = (2\pi)^4 \int [\bar{u}(3)(ig_e \gamma^\mu) u(1)] \frac{-ig_{\mu\nu}}{q^2} [\bar{v}(2)(ig_e \gamma^\nu) v(4)] \\
 & \quad \times \delta^{(4)}(p_1 - p_3 - q) \delta^{(4)}(p_2 + q - p_4) d^4 q
 \end{aligned}$$

$$\Rightarrow \mathcal{M}_I = -\frac{g_e^2}{(p_1 - p_3)^2} [\bar{u}(3) \gamma^\mu u(1)] [\bar{v}(2) \gamma_\mu v(4)]$$

I



II

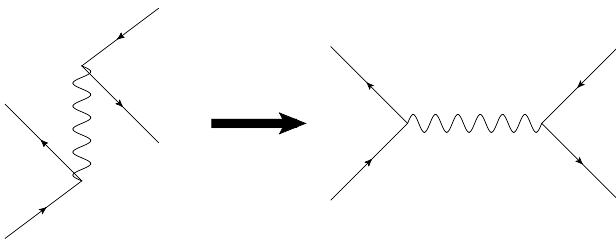


Segundo diagrama:

$$\begin{aligned}
 & -i\mathcal{M}_{\text{II}} (2\pi)^4 \delta^{(4)}(p_1 + p_2 - p_3 - p_4) \\
 & = (2\pi)^4 \int [\bar{u}(3)(ig_e \gamma^\mu) v(4)] \frac{-ig_{\mu\nu}}{q^2} [\bar{v}(2)(ig_e \gamma^\nu) u(1)] \\
 & \quad \times \delta^{(4)}(q - p_3 - p_4) \delta^{(4)}(p_1 + p_2 - q) d^4 q
 \end{aligned}$$

$$\Rightarrow \mathcal{M}_{\text{II}} = -\frac{g_e^2}{(p_1 + p_2)^2} [\bar{u}(3) \gamma^\mu v(4)] [\bar{v}(2) \gamma_\mu u(1)]$$

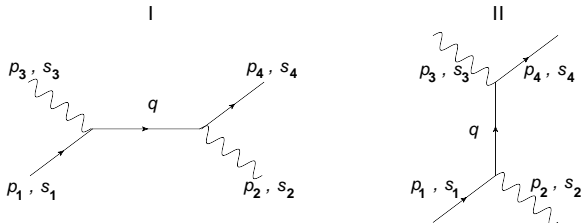
Cambiando el positrón entrante por el electrón saliente en el segundo diagrama y redibujándolo, recuperamos el primer diagrama:



Por lo tanto, debemos restar las amplitudes  $\mathcal{M}_I$  y  $\mathcal{M}_{II}$ :

$$\begin{aligned}\mathcal{M} = & -\frac{g_e^2}{(p_1 - p_3)^2} [\bar{u}(3)\gamma^\mu u(1)] [\bar{v}(2)\gamma_\mu v(4)] \\ & + \frac{g_e^2}{(p_1 + p_2)^2} [\bar{u}(3)\gamma^\mu v(4)] [\bar{v}(2)\gamma_\mu u(1)]\end{aligned}$$

# Ejemplo: dispersión de Compton ( $\gamma + e \rightarrow \gamma + e$ )



$$\begin{aligned}
 & -i\mathcal{M}_I (2\pi)^4 \delta^{(4)}(p_1 + p_2 - p_3 - p_4) \\
 &= (2\pi)^4 \int \epsilon_\mu(2) \left[ \bar{u}(4)(ig_e \gamma^\mu) \frac{i(\cancel{q} + mc)}{(q^2 - m^2 c^2)} (ig_e \gamma^\nu) u(1) \right] \epsilon_\nu(3)^* \\
 & \quad \delta^{(4)}(p_1 - p_3 - q) \delta^{(4)}(p_2 + q - p_4) d^4 q
 \end{aligned}$$

$\cancel{q} \equiv \gamma^\mu q_\mu$

$$\mathcal{M}_I = \frac{g_e^2}{(p_1 - p_3)^2 - m^2 c^2} [\bar{u}(4) \not{\epsilon}(2) (\cancel{p}_1 - \cancel{p}_3 + mc) \not{\epsilon}(3)^* u(1)]$$

$$\mathcal{M}_{II} = \frac{g_e^2}{(p_1 + p_2)^2 - m^2 c^2} [\bar{u}(4) \not{\epsilon}(3)^* (\cancel{p}_1 + \cancel{p}_2 + mc) \not{\epsilon}(2) u(1)]$$

# Suma y promedio sobre espines

Un experimento típico ...

- ▶ comienza con un haz de partículas con espines orientados aleatoriamente
- ▶ cuenta el número de partículas dispersadas en una cierta dirección

Para calcular la sección de choque relevante, entonces ...

- ▶ **promediamos** sobre todas las configuraciones de espín **iniciales**; y
- ▶ **sumamos** sobre todas las configuraciones de espín **finales**

$$\langle |\mathcal{M}|^2 \rangle \equiv \frac{\sum_{\text{espines iniciales}} \sum_{\text{espines finales}} |\mathcal{M}|^2}{\text{número de configuraciones iniciales}}$$

Consideremos la amplitud para la dispersión electrón-muón:

$$\mathcal{M} = -\frac{g_e^2}{(p_1 - p_3)^2} [\bar{u}(3) \gamma^\mu u(1)] [\bar{u}(4) \gamma_\mu u(2)]$$

$$\begin{aligned} \Rightarrow |\mathcal{M}|^2 &= \frac{g_e^4}{(p_1 - p_3)^4} [\bar{u}(3) \gamma^\mu u(1)] [\bar{u}(4) \gamma_\mu u(2)] [\bar{u}(3) \gamma^\nu u(1)]^* [\bar{u}(4) \gamma_\nu u(2)]^* \\ &= \frac{g_e^4}{(p_1 - p_3)^4} [\bar{u}(3) \gamma^\mu u(1)] [\bar{u}(3) \gamma^\nu u(1)]^* [\bar{u}(4) \gamma_\mu u(2)] [\bar{u}(4) \gamma_\nu u(2)]^* \end{aligned}$$

Tenemos términos de la forma

$$G \equiv [\bar{u}(a) \Gamma_1 u(b)] [\bar{u}(a) \Gamma_2 u(b)]^* ,$$

con  $\Gamma_1$  y  $\Gamma_2$  dos matrices  $4 \times 4$ .

$$G \equiv [\bar{u}(a) \Gamma_1 u(b)] [\bar{u}(a) \Gamma_2 u(b)]^*$$

Como

$$[\bar{u}(a) \Gamma_2 u(b)]^* = \bar{u}(b) \bar{\Gamma}_2 u(a) ,$$

con  $\bar{\Gamma}_2 \equiv \gamma^0 \Gamma_2^\dagger \gamma^0$ , entonces

$$G = [\bar{u}(a) \Gamma_1 u(b)] [\bar{u}(b) \bar{\Gamma}_2 u(a)] .$$

Sumamos sobre las orientaciones del espín de la partícula  $b$ :

$$\begin{aligned} \sum_{\text{espines } b} G &= \bar{u}(a) \Gamma_1 \left\{ \sum_{s_b=1,2} u^{(s_b)}(p_b) \bar{u}^{(s_b)}(p_b) \right\} \bar{\Gamma}_2 u(a) \\ &= \bar{u}(a) \Gamma_1 (\not{p}_b + m_b c) \bar{\Gamma}_2 u(a) \\ &\equiv \bar{u}(a) Q u(a) \end{aligned}$$

relación de completitud

Ahora sumamos sobre las orientaciones del espín de la partícula  $a$ :

$$\sum_{\text{espines}} \sum_{a \text{ espines } b} G = \sum_{s_a=1,2} \bar{u}^{(s_a)}(p_a) Q u^{(s_a)}(p_a).$$

Escribiendo la multiplicación matricial explícitamente, tenemos

$$\begin{aligned} \sum_{s_a=1,2} \bar{u}^{(s_a)}(p_a)_i Q_{ij} u^{(s_a)}(p_a)_j &= Q_{ij} \left\{ \sum_{s_a=1,2} u^{(s_a)}(p_a) \bar{u}^{(s_a)}(p_a) \right\}_{ji} \\ &= Q_{ij} (\not{p}_a + m_a c)_{ji} = \text{Tr}(Q (\not{p}_a + m_a c)) . \end{aligned}$$

Entonces,

$$\sum_{\text{espines}} [\bar{u}(a) \Gamma_1 u(b)] [\bar{u}(a) \Gamma_2 u(b)]^* = \text{Tr} [\Gamma_1 (\not{p}_b + m_b c) \bar{\Gamma}_2 (\not{p}_a + m_a c)]$$

# Ejemplo: dispersión electrón-muón

$$\sum_{\text{espines}} [\bar{u}(a) \Gamma_1 u(b)] [\bar{u}(a) \Gamma_2 u(b)]^* = \text{Tr} [\Gamma_1 (\not{p}_b + m_b c) \bar{\Gamma}_2 (\not{p}_a + m_a c)]$$

Teníamos

$$|\mathcal{M}|^2 = \frac{g_e^4}{(p_1 - p_3)^4} \underbrace{[\bar{u}(3) \gamma^\mu u(1)] [\bar{u}(3) \gamma^\nu u(1)]^*}_{G_1} \underbrace{[\bar{u}(4) \gamma_\mu u(2)] [\bar{u}(4) \gamma_\nu u(2)]^*}_{G_2}$$

Para  $G_1$ :

$G_1$

$G_2$

$$\left\{ \begin{array}{l} \Gamma_1 = \gamma^\mu \\ \Gamma_2 = \gamma^\nu \Rightarrow \bar{\Gamma}_2 = \gamma^0 \gamma^{\nu\dagger} \gamma^0 = \gamma^\nu \end{array} \right. \Rightarrow \sum_{\text{espines}} G_1 = \text{Tr} [\gamma^\mu (\not{p}_1 + m_e c) \gamma^\nu (\not{p}_3 + m_e c)]$$

Para  $G_2$ :

$$\sum_{\text{espines}} G_2 = \text{Tr} [\gamma_\mu (\not{p}_2 + m_\mu c) \gamma_\nu (\not{p}_4 + m_\mu c)]$$

Entonces, multiplicando por 1/4 para promediar, obtenemos

$$\langle |\mathcal{M}|^2 \rangle = \frac{g_e^4}{4(p_1 - p_3)^4} \text{Tr} [\gamma^\mu (\not{p}_1 + m_e c) \gamma^\nu (\not{p}_3 + m_e c)] \times \text{Tr} [\gamma_\mu (\not{p}_2 + m_\mu c) \gamma_\nu (\not{p}_4 + m_\mu c)]$$

# Cálculo de trazas

Hemos reducido todo al problema de calcular la traza de un producto complicado de matrices  $\gamma$ .

Para esto, usamos propiedades de las matrices  $\gamma$  y teoremas de trazas:

1.  $\text{Tr}(A + B) = \text{Tr}(A) + \text{Tr}(B)$
2.  $\text{Tr}(\alpha A) = \alpha \text{Tr}(A)$
3.  $\text{Tr}(AB) = \text{Tr}(BA)$
4.  $g_{\mu\nu} g^{\mu\nu} = 4$
5.  $\gamma^\mu \gamma^\nu + \gamma^\nu \gamma^\mu = 2g^{\mu\nu}$
6.  $\gamma_\mu \gamma^\mu = 4$
7.  $\gamma_\mu \gamma^\nu \gamma^\mu = -2\gamma^\nu$
8.  $\gamma_\mu \gamma^\nu \gamma^\lambda \gamma^\mu = 4g^{\nu\lambda}$
9.  $\gamma_\mu \gamma^\nu \gamma^\lambda \gamma^\sigma \gamma^\mu = -2\gamma^\sigma \gamma^\lambda \gamma^\nu$
10. La traza de un producto de número impar de matrices  $\gamma$  es cero.
11.  $\text{Tr}(1) = 4$
12.  $\text{Tr}(\gamma^\mu \gamma^\nu) = 4g^{\mu\nu}$
13.  $\text{Tr}(\gamma^\mu \gamma^\nu \gamma^\lambda \gamma^\sigma) = 4(g^{\mu\nu} g^{\lambda\sigma} - g^{\mu\lambda} g^{\nu\sigma} + g^{\mu\sigma} g^{\nu\lambda})$

# Ejemplo: dispersión electrón-muón

Teníamos

$$\begin{aligned} \langle |\mathcal{M}|^2 \rangle &= \frac{g_e^4}{4(p_1 - p_3)^4} \text{Tr} [\gamma^\mu (\not{p}_1 + m_e c) \gamma^\nu (\not{p}_3 + m_e c)] \\ &\quad \times \text{Tr} [\gamma_\mu (\not{p}_2 + m_\mu c) \gamma_\nu (\not{p}_4 + m_\mu c)] \end{aligned}$$

Expandimos la primera traza:

$$\begin{aligned} &\text{Tr} [\gamma^\mu (\not{p}_1 + m_e c) \gamma^\nu (\not{p}_3 + m_e c)] \\ &= \text{Tr} (\gamma^\mu \not{p}_1 \gamma^\nu \not{p}_3) + m_e c [\text{Tr} (\gamma^\mu \not{p}_1 \gamma^\nu) + \text{Tr} (\gamma^\mu \gamma^\nu \not{p}_3)] + (m_e c)^2 \text{Tr} (\gamma^\mu \gamma^\nu) \end{aligned}$$

Según la regla 10, el término entre corchetes es cero.

El último término se evalúa con la regla 12:

$$\text{Tr} (\gamma^\mu \gamma^\nu) = 4g^{\mu\nu}$$

El primer término lo evaluamos usando la regla 13:

$$\begin{aligned} \text{Tr} (\gamma^\mu \not{p}_1 \gamma^\nu \not{p}_3) &= (p_1)_\lambda (p_3)_\sigma \text{Tr} (\gamma^\mu \gamma^\lambda \gamma^\nu \gamma^\sigma) \\ &= (p_1)_\lambda (p_3)_\sigma 4 \left( g^{\mu\lambda} g^{\nu\sigma} - g^{\mu\nu} g^{\lambda\sigma} + g^{\mu\sigma} g^{\lambda\nu} \right) \\ &= 4 (p_1^\mu p_3^\nu - g^{\mu\nu} (p_1 \cdot p_3) + p_3^\mu p_1^\nu) \end{aligned}$$

Entonces, la primera traza queda

$$\text{Tr} [\gamma^\mu (\not{p}_1 + m_e c) \gamma^\nu (\not{p}_3 + m_e c)] = 4 \left[ p_1^\mu p_3^\nu + p_3^\mu p_1^\nu + g^{\mu\nu} \left( (m_e c)^2 - (p_1 \cdot p_3) \right) \right]$$

La segunda traza es igual, con  $m_e \rightarrow m_\mu$ ,  $1 \rightarrow 2$ ,  $3 \rightarrow 4$  y los índices covariantes.

Entonces:

$$\langle |\mathcal{M}|^2 \rangle = \frac{4g_e^4}{(p_1 - p_3)^4} \left[ p_1^\mu p_3^\nu + p_3^\mu p_1^\nu + g^{\mu\nu} \left( (m_e c)^2 - (p_1 \cdot p_3) \right) \right] \\ \times \left[ p_2^\mu p_4^\nu + p_4^\mu p_2^\nu + g^{\mu\nu} \left( (m_\mu c)^2 - (p_2 \cdot p_4) \right) \right]$$

$$\Rightarrow \langle |\mathcal{M}|^2 \rangle = \frac{8g_e^4}{(p_1 - p_3)^4} \left[ (p_1 \cdot p_2)(p_3 \cdot p_4) + (p_1 \cdot p_4)(p_2 \cdot p_3) \right. \\ \left. - (m_\mu c)^2 (p_1 \cdot p_3) - (m_e c)^2 (p_2 \cdot p_4) + 2 (m_e m_\mu c^2)^2 \right]$$

# Contenido

- 1 Introducción: ¿qué es la física de partículas?
- 2 Cinemática relativista
- 3 Decaimientos y dispersiones
- 4 Una teoría juguete
- 5 Electrodinámica cuántica (QED)
- 6 Teorías gauge

**teoría cuántica de campos = mecánica cuántica + relatividad especial**

Describe:

- ▶ creación y aniquilación de partículas
- ▶ las interacciones entre ellas

e.g., **Modelo Estándar**: describe todas las partículas elementales conocidas (hasta energías de  $\sim 1 \text{ TeV}$ )

Veremos:

- ▶ cómo se construye una teoría cuántica de campos sencilla (QED)
- ▶ cómo el mecanismo de Higgs genera las masas de los bosones masivos

teoría cuántica de campos = mecánica cuántica + relatividad especial

Describe:

- ▶ creación y aniquilación de partículas
- ▶ las interacciones entre ellas

e.g., Modelo Estándar: describe todas las partículas elementales conocidas (hasta energías de  $\sim 1$  TeV)

Veremos:

- ▶ cómo se construye una teoría cuántica de campos sencilla (QED)
- ▶ cómo el mecanismo de Higgs genera las masas de los bosones masivos

teoría cuántica de campos = mecánica cuántica + relatividad especial

Describe:

- ▶ creación y aniquilación de partículas
- ▶ las interacciones entre ellas

e.g., Modelo Estándar: describe todas las partículas elementales conocidas (hasta energías de  $\sim 1$  TeV)

Veremos:

- ▶ cómo se construye una teoría cuántica de campos sencilla (QED)
- ▶ cómo el mecanismo de Higgs genera las masas de los bosones masivos

teoría cuántica de campos = mecánica cuántica + relatividad especial

Describe:

- ▶ creación y aniquilación de partículas
- ▶ las interacciones entre ellas

e.g., **Modelo Estándar**: describe todas las partículas elementales conocidas (hasta energías de  $\sim 1$  TeV)

Veremos:

- ▶ cómo se construye una teoría cuántica de campos sencilla (QED)
- ▶ cómo el mecanismo de Higgs genera las masas de los bosones masivos

teoría cuántica de campos = mecánica cuántica + relatividad especial

Describe:

- ▶ creación y aniquilación de partículas
- ▶ las interacciones entre ellas

e.g., **Modelo Estándar**: describe todas las partículas elementales conocidas (hasta energías de  $\sim 1$  TeV)

Veremos:

- ▶ cómo se construye una teoría cuántica de campos sencilla (QED)
- ▶ cómo el mecanismo de Higgs genera las masas de los bosones masivos

teoría cuántica de campos = mecánica cuántica + relatividad especial

Describe:

- ▶ creación y aniquilación de partículas
- ▶ las interacciones entre ellas

e.g., **Modelo Estándar**: describe todas las partículas elementales conocidas (hasta energías de  $\sim 1$  TeV)

Veremos:

- ▶ cómo se construye una teoría cuántica de campos sencilla (QED)
- ▶ cómo el mecanismo de Higgs genera las masas de los bosones masivos

Recordemos la formulación Lagrangiana de la mecánica clásica:

$$L = T - U$$

Energía cinética:  $T(q_i, \dot{q}_i) = \frac{1}{2}m|\vec{\dot{q}}|^2$

Energía potencial:  $U = U(q_i)$

$$q_1 = x, q_2 = y, q_3 = z, \dot{q}_1 = v_x, \dot{q}_2 = v_y, \dot{q}_3 = v_z$$

Del principio variacional,

$$\delta \int L(q_i, \dot{q}_i) dt = 0 ,$$

se deducen las ecuaciones de Euler-Lagrange:

$$\frac{d}{dt} \left( \frac{\partial L}{\partial \dot{q}_i} \right) = \frac{\partial L}{\partial q_i} .$$

En teoría de campos, las variables dinámicas son ahora los campos  $\phi_i(t, \vec{x}) \equiv \phi_i(x)$  que describen a las partículas.

Introducimos la “densidad Lagrangiana”

$$\mathcal{L} = \mathcal{L} [\phi_i(t, \vec{x}), \partial_\mu \phi_i(t, \vec{x})]$$

a partir de la cual el Lagrangiano se calcula como

$$L = \int \mathcal{L} dx^4 .$$

Ecuaciones de Euler-Lagrange:

Antes

$$\frac{d}{dt} \left( \frac{\partial L}{\partial \dot{q}_i} \right) = \frac{\partial L}{\partial q_i}$$

Ahora

$$\partial_\mu \left( \frac{\partial \mathcal{L}}{\partial (\partial_\mu \phi_i)} \right) = \frac{\partial \mathcal{L}}{\partial \phi_i}$$

En teoría de campos, las variables dinámicas son ahora los campos  $\phi_i(t, \vec{x}) \equiv \phi_i(x)$  que describen a las partículas.

Introducimos la “densidad Lagrangiana”

$$\mathcal{L} = \mathcal{L} [\phi_i(t, \vec{x}), \partial_\mu \phi_i(t, \vec{x})]$$

a partir de la cual el Lagrangiano se calcula como

$$L = \int \mathcal{L} dx^4 .$$

Ecuaciones de Euler-Lagrange:

Antes

$$\frac{d}{dt} \left( \frac{\partial L}{\partial \dot{q}_i} \right) = \frac{\partial L}{\partial q_i}$$

Ahora

$$\partial_\mu \left( \frac{\partial \mathcal{L}}{\partial (\partial_\mu \phi_i)} \right) = \frac{\partial \mathcal{L}}{\partial \phi_i}$$

## Lagrangiano de Klein-Gordon para un campo escalar (espín 0)

$$\partial_\mu \left( \frac{\partial \mathcal{L}}{\partial (\partial_\mu \phi_i)} \right) = \frac{\partial \mathcal{L}}{\partial \phi_i}$$

Supongamos un solo campo escalar  $\phi$  y el Lagrangiano

$$\mathcal{L} = \frac{1}{2} (\partial_\mu \phi) (\partial^\mu \phi) - \frac{1}{2} m^2 \phi^2 .$$

Entonces:

$$\frac{\partial \mathcal{L}}{\partial (\partial_\mu \phi)} = \partial^\mu \phi \Rightarrow \partial_\mu \left( \frac{\partial \mathcal{L}}{\partial (\partial_\mu \phi)} \right) = \partial_\mu \partial^\mu \phi \equiv \square \phi$$

y

$$\frac{\partial \mathcal{L}}{\partial \phi} = -m^2 \phi .$$

Ecuación de Euler-Lagrange:

$$(\square + m^2) \phi = 0 ,$$

que es la ecuación de **Klein-Gordon** que describe (en teoría cuántica de campos) una partícula de espín 0 y masa  $m$ .

## Lagrangiano de Dirac para un campo espinorial (espín 1/2)

Consideremos el campo espinorial  $\psi$  y el Lagrangiano

$$\mathcal{L} = i\bar{\psi}\gamma^\mu\partial_\mu\psi - m\bar{\psi}\psi .$$

Tratamos a  $\psi$  y su adjunto,  $\bar{\psi}$ , como variables de campo independientes.

Ecuación de Euler-Lagrange para  $\bar{\psi}$ :

$$\begin{cases} \partial\mathcal{L}/\partial(\partial_\mu\bar{\psi}) = 0 \\ \partial\mathcal{L}/\partial\bar{\psi} = i\gamma^\mu\partial_\mu\psi - m\psi \end{cases} \Rightarrow i\gamma^\mu\partial_\mu\psi - m\psi = 0 ,$$

que es la ecuación de **Dirac**.

Ecuación de Euler-Lagrange para  $\psi$ :

$$i\partial_\mu\bar{\psi}\gamma^\mu + m\bar{\psi} = 0 ,$$

que es el adjunto de la ecuación de Dirac.

## Lagrangiano de Proca para un campo vectorial (espín 1)

Tomemos el campo vectorial  $A^\mu$ , con el Lagragiano

$$\mathcal{L} = \frac{-1}{16\pi} (\partial^\mu A^\nu - \partial^\nu A^\mu) (\partial_\mu A_\nu - \partial_\nu A_\mu) + \frac{1}{8\pi} m^2 A^\nu A_\nu .$$

Calculamos

$$\frac{\partial \mathcal{L}}{\partial (\partial_\mu A_\nu)} = \frac{-1}{4\pi} (\partial^\mu A^\nu - \partial^\nu A^\mu) \quad \text{y} \quad \frac{\partial \mathcal{L}}{\partial A_\nu} = \frac{1}{4\pi} m^2 A^\nu ,$$

con lo cual la ecuación de Euler-Lagrange queda

$$\partial_\mu (\partial^\mu A^\nu - \partial^\nu A^\mu) + m^2 A^\nu = 0 ,$$

que es la ecuación de Proca para una partícula de espín 1 y masa  $m$ .

## Lagrangiano de Proca para un campo vectorial (espín 1) [cont.]

Si definimos

$$F^{\mu\nu} \equiv \partial^\mu A^\nu - \partial^\nu A^\mu ,$$

entonces podemos escribir

$$\mathcal{L} = \frac{-1}{16\pi} F^{\mu\nu} F_{\mu\nu} + \frac{1}{8\pi} m^2 A^\nu A_\nu$$

$$\partial_\mu F^{\mu\nu} + m^2 A^\nu = 0 .$$

Si ponemos  $m = 0$ , la ecuación de Proca se reduce a las ecuaciones de **Maxwell** en el vacío:

el campo e.m. es un campo vectorial no masivo.

En mecánica clásica,  $L$  se deriva a partir de  $T$  y  $U$ :  $L = T - U$ .

En teoría de campos relativista,  $\mathcal{L}$  es usualmente axiomático.

$\mathcal{L}$  se construye para poder reproducir las ecuaciones de campo deseadas: Klein-Gordon, Dirac, Proca, etc.

Hasta ahora hemos considerado sólo campos *libres*, sin fuentes ni interacciones. ►

Lagrangiano de Maxwell para un campo vectorial no masivo con fuente  $J^\mu$

Supongamos

$$\mathcal{L} = \frac{-1}{16\pi} F^{\mu\nu} F_{\mu\nu} - J^\mu A_\mu ,$$

con  $J^\mu = (\rho, \vec{J})$  (la cuadricorriente) alguna función dada.

Ecuación de Euler-Lagrange:

$$\partial_\mu F^{\mu\nu} = 4\pi J^\nu ,$$

que son las **ecuaciones no homogéneas de Maxwell**, pues

$$F^{\mu\nu} = \begin{pmatrix} 0 & -E_x & -E_y & -E_z \\ E_x & 0 & -B_z & B_y \\ E_y & B_z & 0 & -B_x \\ E_z & -B_y & B_x & 0 \end{pmatrix} .$$

Como  $\partial_\nu \partial_\mu F^{\mu\nu} = \partial_\nu \partial_\mu (\partial^\mu A^\nu - \partial^\nu A^\mu) = 0$ , entonces

$$\partial_\nu J^\nu = 0 \text{ (ec. de continuidad)} ,$$

i.e.,  $J^\mu$  debe respetar la **conservación de la carga**.

# Invariancia gauge global

El Lagrangiano de Dirac,

$$\mathcal{L} = i\bar{\psi}\gamma^\mu\partial_\mu\psi - m\bar{\psi}\psi ,$$

es invariante bajo la transformación

$$\psi \rightarrow e^{i\theta}\psi ,$$

con  $\theta$  real, dado que

$$\left\{ \begin{array}{l} \psi \rightarrow e^{i\theta}\psi \\ \bar{\psi} \equiv \psi^\dagger\gamma^0 \rightarrow e^{-i\theta}\bar{\psi} \end{array} \right. \Rightarrow \left( e^{-i\theta}\bar{\psi} \right) \left( e^{i\theta}\psi \right) = \bar{\psi}\psi .$$

$\psi \rightarrow e^{i\theta}\psi$  se conoce como **transformación gauge global** o **transformación de fase global**.

# Invariancia gauge local

$$\mathcal{L} = i\bar{\psi}\gamma^\mu\partial_\mu\psi - m\bar{\psi}\psi$$

Consideremos ahora que el factor de fase sea diferente en diferentes puntos del espacio-tiempo, i.e.,  $\theta = \theta(x)$  y

$$\psi \rightarrow e^{i\theta(x)}\psi .$$

$\mathcal{L}$  **no** es invariante bajo esta transformación gauge local, debido a la derivada de  $\theta$ :

$$\partial_\mu (e^{i\theta}\psi) = i(\partial_\mu\theta)e^{i\theta}\psi + e^{i\theta}\partial_\mu\psi ,$$

con lo cual

$$\mathcal{L} \rightarrow \mathcal{L} - (\partial_\mu\theta)\bar{\psi}\gamma^\mu\psi .$$

¿Cómo hacer que  $\mathcal{L}$  sea invariante bajo transformaciones gauge locales?

Conviene definir

$$\lambda(x) \equiv (1/q) \theta(x) ,$$

con  $q$  la carga de la partícula involucrada, de manera que, bajo  
 $\psi \rightarrow e^{-iq\lambda(x)}\psi$ ,

$$\mathcal{L} \rightarrow \mathcal{L} + (q\bar{\psi}\gamma^\mu\psi)\partial_\mu\lambda .$$

Demandamos que el **Lagrangiano completo** sea invariante.

Dado que el Lagrangiano libre no lo es, debemos añadirle algo:

$$\mathcal{L} = i\bar{\psi}(\gamma^\mu\partial_\mu - m)\psi - (q\bar{\psi}\gamma^\mu\psi)A_\mu ,$$

donde  $A_\mu$  es un nuevo campo (**“campo gauge”**) que, bajo transformaciones gauge locales, transforma como

$$A_\mu \rightarrow A_\mu + \partial_\mu\lambda .$$

$$\mathcal{L} = i\bar{\psi}(\gamma^\mu \partial_\mu - m)\psi - (q\bar{\psi}\gamma^\mu\psi)A_\mu$$

Veamos ...

$$\begin{aligned} \mathcal{L} &\rightarrow i\bar{\psi}(\gamma^\mu \partial_\mu - m)\psi + (q\bar{\psi}\gamma^\mu\psi)\partial_\mu\lambda - (q\bar{\psi}\gamma^\mu\psi)A_\mu - (q\bar{\psi}\gamma^\mu\psi)\partial_\mu\lambda \\ &= \mathcal{L} \end{aligned}$$

El nuevo Lagrangiano **sí** es invariante bajo transformaciones gauge locales.

Tuvimos que introducir un **nuevo campo vectorial  $A_\mu$**  que se acopla con  $\psi$  a través del término

Pero aún falta un término para describir al campo  $A_\mu$  libre ►

$$\mathcal{L} = i\bar{\psi}(\gamma^\mu \partial_\mu - m)\psi - (q\bar{\psi}\gamma^\mu\psi)A_\mu$$

Veamos ...

$$\begin{aligned} \mathcal{L} &\rightarrow i\bar{\psi}(\gamma^\mu \partial_\mu - m)\psi + (q\bar{\psi}\gamma^\mu\psi)\partial_\mu\lambda - (q\bar{\psi}\gamma^\mu\psi)A_\mu - (q\bar{\psi}\gamma^\mu\psi)\partial_\mu\lambda \\ &= \mathcal{L} \end{aligned}$$

El nuevo Lagrangiano **sí** es invariante bajo transformaciones gauge locales.

Tuvimos que introducir un **nuevo campo vectorial  $A_\mu$**  que se acopla con  $\psi$  a través del término

Pero aún falta un término para describir al campo  $A_\mu$  libre ►

$$\mathcal{L} = i\bar{\psi}(\gamma^\mu \partial_\mu - m)\psi - (q\bar{\psi}\gamma^\mu\psi)A_\mu$$

Veamos ...

$$\mathcal{L} \rightarrow i\bar{\psi}(\gamma^\mu \partial_\mu - m)\psi + \cancel{(q\bar{\psi}\gamma^\mu\psi)}\partial_\mu\lambda - \cancel{(q\bar{\psi}\gamma^\mu\psi)}A_\mu - \cancel{(q\bar{\psi}\gamma^\mu\psi)}\partial_\mu\lambda = \mathcal{L}$$

El nuevo Lagrangiano **sí** es invariante bajo transformaciones gauge locales.

Tuvimos que introducir un **nuevo campo vectorial**  $A_\mu$  que se acopla con  $\psi$  a través del término

Pero aún falta un término para describir al campo  $A_\mu$  libre ►

$$\mathcal{L} = i\bar{\psi}(\gamma^\mu \partial_\mu - m)\psi - (q\bar{\psi}\gamma^\mu\psi) A_\mu$$

Veamos ...

$$\begin{aligned} \mathcal{L} &\rightarrow i\bar{\psi}(\gamma^\mu \partial_\mu - m)\psi + (q\bar{\psi}\gamma^\mu\psi) \partial_\mu \lambda - (q\bar{\psi}\gamma^\mu\psi) A_\mu - (q\bar{\psi}\gamma^\mu\psi) \partial_\mu \lambda \\ &= \mathcal{L} \end{aligned}$$

El nuevo Lagrangiano **sí** es invariante bajo transformaciones gauge locales.

Tuvimos que introducir un **nuevo campo vectorial**  $A_\mu$  que se acopla con  $\psi$  a través del término

Pero aún falta un término para describir al campo  $A_\mu$  libre ►

$$\mathcal{L} = i\bar{\psi}(\gamma^\mu \partial_\mu - m)\psi - (q\bar{\psi}\gamma^\mu\psi)A_\mu$$

Veamos ...

$$\begin{aligned} \mathcal{L} &\rightarrow i\bar{\psi}(\gamma^\mu \partial_\mu - m)\psi + (q\bar{\psi}\gamma^\mu\psi)\partial_\mu\lambda - (q\bar{\psi}\gamma^\mu\psi)A_\mu - (q\bar{\psi}\gamma^\mu\psi)\partial_\mu\lambda \\ &= \mathcal{L} \end{aligned}$$

El nuevo Lagrangiano **sí** es invariante bajo transformaciones gauge locales.

Tuvimos que introducir un **nuevo campo vectorial  $A_\mu$**  que se acopla con  $\psi$  a través del término

Pero aún falta un término para describir al campo  $A_\mu$  libre ►

$$\mathcal{L} = i\bar{\psi}(\gamma^\mu \partial_\mu - m)\psi - (q\bar{\psi}\gamma^\mu\psi)A_\mu$$

Veamos ...

$$\begin{aligned} \mathcal{L} &\rightarrow i\bar{\psi}(\gamma^\mu \partial_\mu - m)\psi + (q\bar{\psi}\gamma^\mu\psi)\partial_\mu\lambda - (q\bar{\psi}\gamma^\mu\psi)A_\mu - (q\bar{\psi}\gamma^\mu\psi)\partial_\mu\lambda \\ &= \mathcal{L} \end{aligned}$$

El nuevo Lagrangiano **sí** es invariante bajo transformaciones gauge locales.

Tuvimos que introducir un **nuevo campo vectorial  $A_\mu$**  que se acopla con  $\psi$  a través del término

Pero aún falta un término para describir al campo  $A_\mu$  libre ►

Como  $A_\mu$  es campo vectorial, lo describimos con el Lagrangiano de Proca:

$$\mathcal{L} = \frac{-1}{16\pi} F^{\mu\nu} F_{\mu\nu} + \frac{1}{8\pi} m_A^2 A^\nu A_\nu .$$

$F^{\mu\nu} \equiv \partial^\mu A^\nu - \partial^\nu A^\mu$  es invariante, pero  $A^\nu A_\nu$ , **no**:

$$A^\nu A_\nu \rightarrow A^\nu A_\nu + A^\nu \partial_\nu \lambda + \partial_\nu \lambda A^\nu + (\partial_\nu \lambda)^2 .$$

∴ el campo gauge debe ser no masivo ( $m_A = 0$ ) para respetar invariancia de gauge local

# ¿Qué hemos hecho?

- ▶ Partimos del Lagrangiano de Dirac
- ▶ Impusimos invariancia gauge local
- ▶ Nos vimos forzados a introducir un campo vectorial no masivo ( $A^\mu$ )

El Lagrangiano completo es entonces

$$\mathcal{L} = \underbrace{i\bar{\psi}(\gamma^\mu \partial_\mu - m)\psi}_{\mathcal{L}_{\text{fermión}}} + \underbrace{\left[ \frac{-1}{16\pi} F^{\mu\nu} F_{\mu\nu} \right]}_{\mathcal{L}_{\text{bosón}}} - \underbrace{(q\bar{\psi}\gamma^\mu\psi) A_\mu}_{\mathcal{L}_{\text{int}}}$$

$A^\mu$  es el potencial e.m., que interactúa con el campo masivo  $\psi$  a través del acoplamiento  $(q\bar{\psi}\gamma^\mu\psi) A_\mu \equiv J^\mu A_\mu$ , con  $J^\mu$  la corriente de Dirac.

∴ la imposición de invariancia gauge local, aplicada al Lagrangiano libre de Dirac, genera toda la electrodinámica

Luego de cuantizar los campos  $\psi$  y  $A_\mu$ , obtendríamos QED.

La transformación gauge global puede verse como la aplicación de una matriz  $1 \times 1$  unitaria sobre  $\psi$ :

$$\psi \rightarrow U\psi \quad , \quad \text{con } U^\dagger U = 1 \ ,$$

donde  $U = e^{i\theta}$ .

$U(1)$ : grupo de todas estas matrices

Simetría involucrada: “invariancia gauge  $U(1)$ ”.

simetría local bajo ...	interacción descrita
$U(1)$	electromagnética
$SU(2)$	débil
$SU(3)$	fuerte

Modelo Estándar: invariante bajo  $SU(3) \times SU(2) \times U(1)$

Hasta ahora, los Lagrangianos que hemos considerado describen campos *clásicos*.

teoría clásica de campos segunda cuantización teoría cuántica de campos  
 (campos clásicos) → (campos operadores)

Las *partículas* emergen como los “cuantos” de los campos asociados:

simetría	interacción	campo gauge	partícula asociada
$U(1)$	electromagnética	$A^\mu$	fotón
$SU(2)$	débil	$W^\pm, Z^0$	bosones débiles
$SU(3)$	fuerte	$g_1, \dots, g_8$	gluones

Veamos cómo encontrar las reglas de Feynman para un Lagrangiano dado ►

Hasta ahora, los Lagrangianos que hemos considerado describen campos *clásicos*.

teoría clásica de campos segunda cuantización teoría cuántica de campos  
 (campos clásicos) → (campos operadores)

Las *partículas* emergen como los “cuantos” de los campos asociados:

simetría	interacción	campo gauge	partícula asociada
$U(1)$	electromagnética	$A^\mu$	fotón
$SU(2)$	débil	$W^\pm, Z^0$	bosones débiles
$SU(3)$	fuerte	$g_1, \dots, g_8$	gluones

Veamos cómo encontrar las reglas de Feynman para un Lagrangiano dado ►

Hasta ahora, los Lagrangianos que hemos considerado describen campos *clásicos*.

teoría clásica de campos segunda cuantización teoría cuántica de campos  
 (campos clásicos) → (campos operadores)

Las *partículas* emergen como los “cuantos” de los campos asociados:

simetría	interacción	campo gauge	partícula asociada
$U(1)$	electromagnética	$A^\mu$	fotón
$SU(2)$	débil	$W^\pm, Z^0$	bosones débiles
$SU(3)$	fuerte	$g_1, \dots, g_8$	gluones

Veamos cómo encontrar las reglas de Feynman para un Lagrangiano dado ►

Hasta ahora, los Lagrangianos que hemos considerado describen campos *clásicos*.

teoría clásica de campos segunda cuantización teoría cuántica de campos  
 (campos clásicos) → (campos operadores)

Las *partículas* emergen como los “cuantos” de los campos asociados:

simetría	interacción	campo gauge	partícula asociada
$U(1)$	electromagnética	$A^\mu$	fotón
$SU(2)$	débil	$W^\pm, Z^0$	bosones débiles
$SU(3)$	fuerte	$g_1, \dots, g_8$	gluones

Veamos cómo encontrar las reglas de Feynman para un Lagrangiano dado ►

$$\mathcal{L} = \mathcal{L}_{\text{libre}} + \mathcal{L}_{\text{int}}$$

$\mathcal{L}_{\text{libre}}$ : Klein-Gordon (espín 0), Dirac (espín 1/2), Proca (espín 1), etc.

Lagrangiano libre → propagador

Términos de interacción → factores de vértice

Ecuaciones de campo libre:

	espacio de posición	espacio de momentum
Klein-Gordon	$(\partial_\mu \partial^\mu + m^2) \phi = 0$	$[p^2 - m^2] \phi = 0$
Dirac	$(i\gamma^\mu \partial_\mu - m) \psi = 0$	$[\not{p} - m] \psi = 0$
Proca	$\partial_\mu (\partial^\mu A^\nu - \partial^\nu A^\mu) + m^2 A^\nu = 0$	$[( -p^2 + m^2) g_{\mu\nu} + p_\mu p_\nu] A^\nu = 0$

El propagador es el inverso del factor entre corchetes  $([ \dots ]) \times i$ :

Propagador de espín 0 :  $\frac{i}{p^2 - m^2}$

Propagador de espín  $\frac{1}{2}$  :  $\frac{i}{\not{p} - mc} = i \frac{\not{p} + m}{p^2 - m^2}$

Propagador de espín 1 :  $\frac{-i}{p^2 - m^2} \left[ g_{\mu\nu} - \frac{p_\mu p_\nu}{m^2} \right]$

$$\mathcal{L} = \mathcal{L}_{\text{libre}} + \mathcal{L}_{\text{int}}$$

$\mathcal{L}_{\text{libre}}$ : Klein-Gordon (espín 0), Dirac (espín 1/2), Proca (espín 1), etc.

Lagrangiano libre → propagador

Términos de interacción → factores de vértice

Ecuaciones de campo libre:

	espacio de posición	espacio de momentum
Klein-Gordon	$(\partial_\mu \partial^\mu + m^2) \phi = 0$	$[p^2 - m^2] \phi = 0$
Dirac	$(i\gamma^\mu \partial_\mu - m) \psi = 0$	$[\not{p} - m] \psi = 0$
Proca	$\partial_\mu (\partial^\mu A^\nu - \partial^\nu A^\mu) + m^2 A^\nu = 0$	$[( -p^2 + m^2) g_{\mu\nu} + p_\mu p_\nu] A^\nu = 0$

El propagador es el inverso del factor entre corchetes  $([ \dots ]) \times i$ :

$$\text{Propagador de espín 0 : } \frac{i}{p^2 - m^2}$$

$$\text{Propagador de espín } \frac{1}{2} : \frac{i}{\not{p} - mc} = i \frac{\not{p} + m}{p^2 - m^2}$$

$$\text{Propagador de espín 1 : } \frac{-i}{p^2 - m^2} \left[ g_{\mu\nu} - \frac{p_\mu p_\nu}{m^2} \right]$$

$$\mathcal{L} = \mathcal{L}_{\text{libre}} + \mathcal{L}_{\text{int}}$$

$\mathcal{L}_{\text{libre}}$ : Klein-Gordon (espín 0), Dirac (espín 1/2), Proca (espín 1), etc.

Lagrangiano libre → propagador

Términos de interacción → factores de vértice

### Ecuaciones de campo libre:

	espacio de posición	espacio de momentum
Klein-Gordon	$(\partial_\mu \partial^\mu + m^2) \phi = 0$	$[p^2 - m^2] \phi = 0$
Dirac	$(i\gamma^\mu \partial_\mu - m) \psi = 0$	$[\not{p} - m] \psi = 0$
Proca	$\partial_\mu (\partial^\mu A^\nu - \partial^\nu A^\mu) + m^2 A^\nu = 0$	$[( -p^2 + m^2) g_{\mu\nu} + p_\mu p_\nu] A^\nu = 0$

El propagador es el inverso del factor entre corchetes  $([ \dots ]) \times i$ :

Propagador de espín 0 :  $\frac{i}{p^2 - m^2}$

Propagador de espín  $\frac{1}{2}$  :  $\frac{i}{\not{p} - mc} = i \frac{\not{p} + m}{p^2 - m^2}$

Propagador de espín 1 :  $\frac{-i}{p^2 - m^2} \left[ g_{\mu\nu} - \frac{p_\mu p_\nu}{m^2} \right]$

$$\mathcal{L} = \mathcal{L}_{\text{libre}} + \mathcal{L}_{\text{int}}$$

$\mathcal{L}_{\text{libre}}$ : Klein-Gordon (espín 0), Dirac (espín 1/2), Proca (espín 1), etc.

Lagrangiano libre → propagador

Términos de interacción → factores de vértice

Ecuaciones de campo libre:

	espacio de posición	espacio de momentum
Klein-Gordon	$(\partial_\mu \partial^\mu + m^2) \phi = 0$	$[p^2 - m^2] \phi = 0$
Dirac	$(i\gamma^\mu \partial_\mu - m) \psi = 0$	$[\not{p} - m] \psi = 0$
Proca	$\partial_\mu (\partial^\mu A^\nu - \partial^\nu A^\mu) + m^2 A^\nu = 0$	$[( -p^2 + m^2 ) g_{\mu\nu} + p_\mu p_\nu] A^\nu = 0$

El propagador es el inverso del factor entre corchetes  $([ \dots ]) \times i$ :

Propagador de espín 0 :  $\frac{i}{p^2 - m^2}$

Propagador de espín  $\frac{1}{2}$  :  $\frac{i}{\not{p} - mc} = i \frac{\not{p} + m}{p^2 - m^2}$

Propagador de espín 1 :  $\frac{-i}{p^2 - m^2} \left[ g_{\mu\nu} - \frac{p_\mu p_\nu}{m^2} \right]$

Para hallar el **propagador del fotón (espín 1 no masivo)**, volvamos a la ecuación de Maxwell para campo libre:

$$\partial_\mu (A^\mu A^\nu - \partial^\nu A^\mu) = 0 .$$

Usamos la **condición de Lorentz** para determinar  $A^\mu$ , i.e.,

$$\partial_\mu A^\mu = 0 ,$$

con lo que la ecuación de campo se reduce a

$$\partial^2 A^\nu = 0 \xrightarrow{p_\mu \rightarrow i\partial_\mu} (-p^2 g_{\mu\nu}) A^\nu = 0 .$$

Entonces, el propagador del fotón es:

Propagador de espín 1, no masivo :  $-i \frac{g_{\mu\nu}}{p^2}$

Para obtener los factores de vértice:

- Escribimos  $i\mathcal{L}_{\text{int}}$  en el espacio de momentum
- Los campos involucrados determinan la estructura de la interacción

e.g., para QED,

$$i\mathcal{L}_{\text{int}} = -i (q\bar{\psi}\gamma^\mu\psi) A_\mu$$

Tres campos involucrados ( $\bar{\psi}$ ,  $\psi$ ,  $A_\mu$ ): un fermión entrante, un fermión saliente y un fotón.

Para obtener el factor de vértice, “borramos” los campos:

$$-i\sqrt{4\pi}q\gamma^\mu \equiv ig_e\gamma^\mu$$

Para obtener los factores de vértice:

- Escribimos  $i\mathcal{L}_{\text{int}}$  en el espacio de momentum
- Los campos involucrados determinan la estructura de la interacción

e.g., para QED,

$$i\mathcal{L}_{\text{int}} = -i (q\bar{\psi}\gamma^\mu\psi) A_\mu$$

Tres campos involucrados ( $\bar{\psi}$ ,  $\psi$ ,  $A_\mu$ ): un fermión entrante, un fermión saliente y un fotón.

Para obtener el factor de vértice, “borramos” los campos:

$$-i\sqrt{4\pi}q\gamma^\mu \equiv ig_e\gamma^\mu$$

Para obtener los factores de vértice:

- Escribimos  $i\mathcal{L}_{\text{int}}$  en el espacio de momentum
- Los campos involucrados determinan la estructura de la interacción

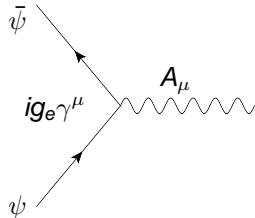
e.g., para QED,

$$i\mathcal{L}_{\text{int}} = -i(\bar{\psi}\gamma^\mu\psi)A_\mu$$

Tres campos involucrados ( $\bar{\psi}$ ,  $\psi$ ,  $A_\mu$ ): un fermión entrante, un fermión saliente y un fotón.

Para obtener el factor de vértice, “borramos” los campos:

$$-i\sqrt{4\pi}q\gamma^\mu \equiv ig_e\gamma^\mu$$



# El término de masa

La invariancia gauge local ...

- ▶ funciona para interacciones e.m. y fuertes (fotón y gluones no masivos)
- ▶ no se cumple para interacciones débiles ( $W^\pm$  y  $Z^0$  masivos)

Problema: término de masa en  $\mathcal{L}_{\text{Proca}}$  no es invariante –

$$\mathcal{L}_{\text{Proca}} = \frac{-1}{16\pi} F^{\mu\nu} F_{\mu\nu} + \frac{1}{8\pi} m^2 A^\nu A_\nu$$

¿Podemos adaptar la invariancia gauge local para campos masivos?

Sí, usando ...

- ▶ rompimiento espontáneo de la simetría
- ▶ mecanismo de Higgs

Aprendamos primero a identificar el término de masa ▶

Consideremos el siguiente Lagrangiano para un escalar  $\phi$ :

$$\mathcal{L} = \frac{1}{2} (\partial_\mu \phi) (\partial^\mu \phi) + e^{-(\alpha \phi)^2} \quad (\alpha \in \mathbb{R}) .$$

A primera vista, parece un campo no masivo.

Pero si expandimos ...

$$\mathcal{L} = \frac{1}{2} (\partial_\mu \phi) (\partial^\mu \phi) + 1 - \alpha^2 \phi^2 + \frac{1}{2} \alpha^4 \phi^4 - \frac{1}{6} \alpha^6 \phi^6 + \dots$$

y comparamos con

$$\mathcal{L}_{\text{Klein-Gordon}} = \frac{1}{2} (\partial_\mu \phi) (\partial^\mu \phi) - \frac{1}{2} m^2 \phi^2 ,$$

vemos que el segundo término es un término de masa con

$$m = \sqrt{2} \alpha .$$

El término de masa puede estar “disfrazado”.

Para identificarlo, expandimos y buscamos el término de segundo orden en los campos ( $\phi, \psi, A^\mu$ , etc.).

Consideremos ahora

$$\mathcal{L} = \frac{1}{2} (\partial_\mu \phi) (\partial^\mu \phi) + \frac{1}{2} \mu^2 \phi^2 - \frac{1}{4} \lambda^2 \phi^4 \quad (\mu, \lambda \in \mathcal{R})$$

parece un término de masa, pero tiene el signo equivocado ( $m$  no puede ser imaginario!)

¿Qué hacer?

El cálculo de Feynman es un procedimiento perturbativo:

- ▶ partimos del estado base (el “vacío”) – la configuración de energía mínima
- ▶ tratamos a los campos como perturbaciones al estado base

Para los Lagrangianos previos,  $\phi = 0$  ha sido el estado base.

Para el nuevo  $\mathcal{L}$ , no; hallaremos cuál es ▶

Escribamos

$$\mathcal{L} = \mathcal{T} - \mathcal{U},$$

con

término “cinético” :  $\mathcal{T} = \frac{1}{2} \partial_\mu \phi \partial^\mu \phi$

término “potencial” :  $\mathcal{U}(\phi) = -\frac{1}{2}\mu^2\phi^2 + \frac{1}{4}\lambda^2\phi^4$

El mínimo de  $\mathcal{U}$  ocurre en

$$\phi = \pm \mu/\lambda.$$

Escribamos

$$\mathcal{L} = \mathcal{T} - \mathcal{U},$$

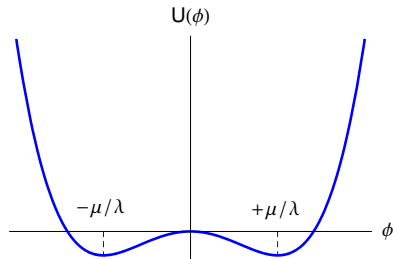
con

término “cinético” :  $\mathcal{T} = \frac{1}{2} \partial_\mu \phi \partial^\mu \phi$

término “potencial” :  $\mathcal{U}(\phi) = -\frac{1}{2}\mu^2\phi^2 + \frac{1}{4}\lambda^2\phi^4$

El mínimo de  $\mathcal{U}$  ocurre en

$$\phi = \pm\mu/\lambda.$$



Desviación respecto del estado base:

$$\eta \equiv \phi \pm \mu/\lambda$$

En términos de  $\eta$ ,

$$\mathcal{L} = \frac{1}{2} (\partial_\mu \eta) (\partial^\mu \eta) - \mu^2 \eta^2 \pm \mu \lambda \eta^3 - \frac{1}{4} \lambda^2 \eta^4 + \frac{1}{4} \left( \mu^2 / \lambda \right)^2$$

Este es el mismo Lagrangiano, escrito en forma distinta.

El segundo término es ahora un término de masa con signo correcto, para

$$m = \sqrt{2}\mu$$

Desviación respecto del estado base:

$$\eta \equiv \phi \pm \mu/\lambda$$

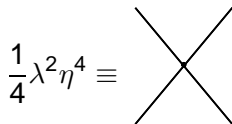
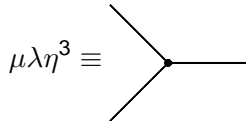
En términos de  $\eta$ ,

$$\mathcal{L} = \frac{1}{2} (\partial_\mu \eta) (\partial^\mu \eta) - \mu^2 \eta^2 \pm \mu \lambda \eta^3 - \frac{1}{4} \lambda^2 \eta^4 + \frac{1}{4} \left( \mu^2 / \lambda \right)^2$$

Este es el mismo Lagrangiano, escrito en forma distinta.

El segundo término es ahora un término de masa con signo correcto, para

$$m = \sqrt{2}\mu$$



# Rompimiento espontáneo de simetría

Para encontrar el término de masa:

- expresamos  $\mathcal{L}$  en función de la perturbación respecto del estado base
- al hacer esto, hemos “roto” una simetría discreta de  $\mathcal{L}$

Forma original:

$$\mathcal{L} = \frac{1}{2} (\partial_\mu \phi) (\partial^\mu \phi) + \frac{1}{2} \mu^2 \phi^2 - \frac{1}{4} \lambda^2 \phi^4$$

→ invariante bajo  $\phi \rightarrow -\phi$

Forma en términos de  $\eta$ :

$$\mathcal{L} = \frac{1}{2} (\partial_\mu \eta) (\partial^\mu \eta) - \mu^2 \eta^2 \pm \mu \lambda \eta^3 - \frac{1}{4} \lambda^2 \eta^4 + \frac{1}{4} \left( \mu^2 / \lambda \right)^2$$

→ no invariante bajo  $\eta \rightarrow -\eta$

**rompimiento espontáneo de simetría:** el vacío elegido ( $\phi = \mu/\lambda$ ) no tiene las mismas simetrías que  $\mathcal{L}$

Veamos cómo se rompe espontáneamente una simetría continua.

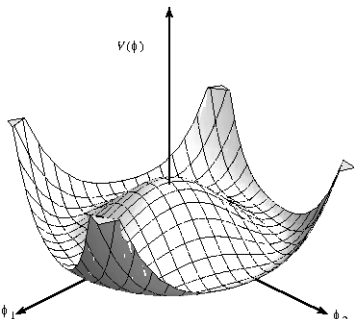
Consideremos

$$\mathcal{L} = \frac{1}{2} (\partial_\mu \phi_1) (\partial^\mu \phi_1) + \frac{1}{2} (\partial_\mu \phi_2) (\partial^\mu \phi_2) + \frac{1}{2} \mu^2 (\phi_1^2 + \phi_2^2) - \frac{1}{4} \lambda^2 (\phi_1^2 + \phi_2^2)^2$$

Invariante ante rotaciones en el espacio  $\phi_1, \phi_2$ , i.e.,  $SO(2)$ -simétrico.

Potencial:

$$\mathcal{U} = -\frac{1}{2} \mu^2 (\phi_1^2 + \phi_2^2) + \frac{1}{4} \lambda^2 (\phi_1^2 + \phi_2^2)^2$$



Los mínimos están sobre el círculo  $\phi_{1\min}^2 + \phi_{2\min}^2 = \mu^2/\lambda^2$ .

Escogemos un mínimo particular,

$$\phi_{1\min} = \mu/\lambda , \quad \phi_{2\min} = 0 ,$$

y definimos las fluctuaciones respecto de él:

$$\eta \equiv \phi_1 - \mu/\lambda , \quad \xi \equiv \phi_2 .$$

Con esto,

$$\begin{aligned} \mathcal{L} &= \left[ \frac{1}{2} (\partial_\mu \eta) (\partial^\mu \eta) \quad -\mu^2 \eta^2 \right] + \left[ \frac{1}{2} (\partial_\mu \xi) (\partial^\mu \xi) \right] \\ &\quad + \left[ \mu \lambda (\eta^3 + \eta \xi^2) - \frac{\lambda^2}{4} (\eta^4 + \xi^4 + 2\eta^2 \xi^2) \right] + \mu^4 / (4\lambda^2) . \end{aligned}$$

En esta forma,  $\mathcal{L}$  ya no es invariante bajo SO(2).

$\eta$  es ahora masivo:  $m_\eta = \sqrt{2}\mu$

Aparece un escalar no masivo,  $\xi$  ( $m_\xi = 0$ ).

### Teorema de Goldstone:

El rompimiento espontáneo de una simetría continua global siempre está acompañado de la aparición de uno o más campos escalares (espín 0) no masivos (“bosones de Goldstone”).

### Problema:

Los bosones escalares no masivos no existen en el conjunto de partículas elementales conocidas.

### Solución:

El mecanismo de Higgs: rompimiento espontáneo de una simetría gauge local.

### Teorema de Goldstone:

El rompimiento espontáneo de una simetría continua global siempre está acompañado de la aparición de uno o más campos escalares (espín 0) no masivos (“bosones de Goldstone”).

### Problema:

Los bosones escalares no masivos no existen en el conjunto de partículas elementales conocidas.

### Solución:

El mecanismo de Higgs: rompimiento espontáneo de una simetría gauge local.

### Teorema de Goldstone:

El rompimiento espontáneo de una simetría continua global siempre está acompañado de la aparición de uno o más campos escalares (espín 0) no masivos (“bosones de Goldstone”).

### Problema:

Los bosones escalares no masivos no existen en el conjunto de partículas elementales conocidas.

### Solución:

El mecanismo de Higgs: rompimiento espontáneo de una simetría gauge local.

# El mecanismo de Higgs

Escribamos

$$\phi \equiv \phi_1 + \phi_2 \Rightarrow \phi\phi^* = \phi_1^2 + \phi_2^2$$

$$\mathcal{L} = \frac{1}{2} (\partial_\mu \phi)^* (\partial^\mu \phi) + \frac{1}{2} \mu^2 (\phi^* \phi) - \frac{1}{4} \lambda^2 (\phi^* \phi)^2$$

La simetría bajo  $SO(2)$  se ha convertido en simetría bajo  $U(1)$ :

$$\phi \rightarrow e^{i\theta} \phi .$$

Para hacer a  $\mathcal{L}$  invariante bajo transformaciones gauge locales

$$\phi \rightarrow e^{i\theta(x)} \phi ,$$

introducimos el campo gauge  $A^\mu$ :

$$\begin{aligned} \mathcal{L} = & \frac{1}{2} [(\partial_\mu - iqA_\mu) \phi^*] [(\partial^\mu + iqA_\mu) \phi] \\ & + \frac{1}{2} \mu^2 (\phi^* \phi) - \frac{1}{4} \lambda^2 (\phi^* \phi)^2 - \frac{1}{16\pi} F^{\mu\nu} F_{\mu\nu} . \end{aligned}$$

## Definimos los nuevos campos

$$\eta \equiv \phi_1 - \mu/\lambda \quad , \quad \xi \equiv \phi_2 \quad ,$$

con lo cual

$$\begin{aligned} \mathcal{L} = & \left[ \frac{1}{2} (\partial_\mu \eta) (\partial^\mu \eta) - \mu^2 \eta^2 \right] + \left[ \frac{1}{2} (\partial_\mu \xi) (\partial^\mu \xi) \right] \\ & + \left[ -\frac{1}{16\pi} F^{\mu\nu} F_{\mu\nu} + \frac{1}{2} (q \frac{\mu}{\lambda})^2 A_\mu A^\mu \right] - 2i \left( \frac{\mu}{\lambda} q \right) (\partial_\mu \xi) A^\mu \\ & + \left\{ q [\eta (\partial_\mu \xi) - \xi (\partial_\mu \eta)] A^\mu + \frac{\mu}{\lambda} q^2 \eta (A_\mu A^\mu) + \frac{1}{2} q^2 (\xi^2 + \eta^2) (A_\mu A^\mu) \right. \\ & \quad \left. - \lambda \mu (\eta^3 + \eta \xi^2) - \frac{1}{4} \lambda^2 (\eta^4 + 2\eta^2 \xi^2 + \xi^4) \right\} + \left( \frac{\mu^2}{2\lambda} \right)^2 \end{aligned}$$

Escalar con masa  $m_\eta = \sqrt{2}\mu$

Bosón de Goldstone

Campo gauge libre  $A^\mu$  masivo:  $m_A = 2\sqrt{\pi}(q\mu/\lambda)$

Acoplamientos entre  $A^\mu, \eta, \xi$

Rotemos  $\phi$ :

$$\begin{aligned}\phi \rightarrow \phi' &= (\cos \theta + i \sin \theta) (\phi_1 + \phi_2) \\ &= (\phi_1 \cos \theta - \phi_2 \sin \theta) + i(\phi_1 \sin \theta + \phi_2 \cos \theta)\end{aligned}$$

Si escogemos  $\theta = -\arctan(\phi_2/\phi_1)$ , entonces  $\phi'$  será real, i.e.,  $\xi' = \phi'_2 = 0$ .

En este gauge,

$$\begin{aligned}\mathcal{L} = & \left[ \frac{1}{2} (\partial_\mu \eta) (\partial^\mu \eta) - \mu^2 \eta^2 \right] + \left[ -\frac{1}{16\pi} F^{\mu\nu} F_{\mu\nu} + \frac{1}{2} \left( q \frac{\mu}{\lambda} \right)^2 A_\mu A^\mu \right] \\ & + \left\{ \frac{\mu}{\lambda} q^2 \eta (A_\mu A^\mu) + \frac{1}{2} q^2 \eta^2 (A_\mu A^\mu) - \lambda \mu \eta^3 - \frac{1}{4} \lambda^2 \eta^4 \right\} \\ & + \left( \frac{\mu^2}{2\lambda} \right)^2\end{aligned}$$

Eliminamos el bosón de Goldstone.

Nos quedamos con un escalar masivo  $\eta$  (el **bosón de Higgs**) y un campo gauge masivo  $A^\mu \rightarrow$  **mecanismo de Higgs**

# Bibliografía seleccionada

## Introducción a la física de partículas:

- ▶ *Introduction to elementary particles*  
D. Griffiths; John Wiley & Sons, 1987
- ▶ *Quarks and leptons: an introductory course in modern particle physics*  
F. Halzen, A. D. Martin; John Wiley & Sons, 1984

## Teoría cuántica de campos (nivel introductorio):

- ▶ *Quantum field theory*  
F. Mandl, G. Shaw; John Wiley & Sons, 1984
- ▶ *Quantum field theory in a nutshell*  
A. Zee; Princeton University Press, 2010

Teoría cuántica de campos (nivel intermedio):

- *An introduction to quantum field theory*  
M. E. Peskin, D. V. Schroeder; Westview Press, 1995

Teoría cuántica de campos (nivel avanzado):

- *The quantum theory of fields vols. 1-3*  
S. Weinberg; Cambridge University Press, 2005

Modelo Estándar:

- *Gauge theories of the strong, weak, and electromagnetic interactions*  
C. Quigg; Westview Press, 1997

Teoría de grupos:

- *Lie groups for pedestrians*  
H. J. Lipkin; Dover, 1966